

18  
28j



# Universidad Nacional Autónoma de México

FACULTAD DE INGENIERIA

ESTUDIO DE VIBRACIONES LIBRES Y FORZADAS EN  
ESTRUCTURAS DE PARED DELGADA APLICADO AL  
DESFOGUE DE LA PRESA HIDROELECTRICA MANUEL  
MORENO TORRES "CHICOASEN"

## Tesis Profesional

INGENIERA CIVIL

NORMA AVIÑA LEMUS



México, D. F.

1987



Universidad Nacional  
Autónoma de México



## **UNAM – Dirección General de Bibliotecas Tesis Digitales Restricciones de uso**

### **DERECHOS RESERVADOS © PROHIBIDA SU REPRODUCCIÓN TOTAL O PARCIAL**

Todo el material contenido en esta tesis está protegido por la Ley Federal del Derecho de Autor (LFDA) de los Estados Unidos Mexicanos (México).

El uso de imágenes, fragmentos de videos, y demás material que sea objeto de protección de los derechos de autor, será exclusivamente para fines educativos e informativos y deberá citar la fuente donde la obtuvo mencionando el autor o autores. Cualquier uso distinto como el lucro, reproducción, edición o modificación, será perseguido y sancionado por el respectivo titular de los Derechos de Autor.

## INDICE

	página
NOMENCLATURA	
INDICE DE FIGURAS	
CAPITULO I	INTRODUCCION
I.1	Descripción del problema. 1
I.2	Efectos globales y locales. 1
I.3	Definiciones. 2
CAPITULO II	REVISION BIBLIOGRAFICA 8
CAPITULO III	TEORIA GENERAL PARA UN SOLIDO ELASTICO
III.1	Vibraciones forzadas en cascarones. 16
III.2	Vibraciones libres 21
III.2.1	Cálculo de frecuencias naturales y funciones coordenadas en placas 21
III.2.2	Vibraciones libres en cilindros y conos ortotrópicos. 22
III.3	Aplicación a vibración forzada de placas. 27
CAPITULO IV	ANALISIS NUMERICO
IV.1	Frecuencias naturales en conos y cilindros. 32
IV.2	Frecuencias naturales del tubo de desfogue de la P. H. de Chicoasén. 33
IV.3.	Vibración forzada en placas rectangulares. 37
CAPITULO V	CONCLUSIONES Y RECOMENDACIONES DE DISEÑO. 58
REFERENCIAS	60

## NOMENCLATURA

T	Periodo
f	Frecuencia
$\omega_{mn}$	Frecuencia natural para el modo mn.
$\omega_0$	Frecuencia a la cual ocurre el máximo desplazamiento.
g	aceleración de la gravedad
E, E <sub>C</sub>	Módulo de elasticidad del acero y del concreto respectivamente.
$\rho$	Densidad
$\nu$	Módulo de Poisson.
a, b	dimensiones de una placa rectangular.
R <sub>1</sub>	radio menor del cono truncado
R <sub>2</sub>	radio mayor del cono truncado
$\bar{R}$	$(R_1 + R_2)/2$
$\alpha$	ángulo del semivértice de abertura del cono.
u, v, w	desplazamientos longitudinal, circunferencial y radial.
h, t	espesor
L	longitud meridional del cono.
K	$\sqrt{L/R}/h/R$
U <sub>imnk</sub>	función coordenada
$\eta_{mnk}$	factor de participación modal
q <sub>i</sub>	carga
$\phi_{mn}$	ángulo de fase.
$\Lambda_{mn}$	magnitud de la respuesta.
m	número modal natural longitudinal.
n	número modal natural circunferencial.
$\delta$	desplazamiento transversal de una placa.
$\delta_{max}^*/b$	aproximación para grandes amortiguamientos.
A <sub>ij</sub>	coeficientes de la rigidez a esfuerzos normales.
D <sub>ij</sub>	coeficientes de la rigidez a flexión.

## INDICE DE FIGURAS

	página
<b>CAPITULO I</b>	
1.1 Dimensiones y propiedades generales de la estructura en estudio.	6
1.2a Movimiento periódico.	7
1.2b Movimiento oscilatorio.	7
1.2c Movimiento armónico simple.	7
1.3 Configuración modal de un sistema de dos grados de libertad.	7
 <b>CAPITULO II</b>	
2.1 Diafragmas de cortante como condición de apoyo.	15
2.2 Configuración modal de una placa rectangular simplemente apoyada.	15
 <b>CAPITULO III</b>	
3.1 sistema coordenado tridimensional.	30
3.2 Configuración modal de una placa, referida a sus ejes coordenados ortogonales.	30
3.3 Sistema de cargas.	30
3.4 Parámetros geométricos del cilindro rigidizado.	31
 <b>CAPITULO IV</b>	
4.1 Cascarón cilíndrico en vibración para $m=1$ y $n=3$ .	45
4.2 Sistema de atezadores de sección T.	45
4.3 Cascarón cónico de doble pared.	45
4.4 Historia de desplazamientos de una placa para diferentes frecuencias de excitación.	46
4.5 Espectro de respuesta de una placa rectangular de: $16.5'' \times 52''$ y $\lambda=0.0$	47

4.6	Espectro de respuesta de una placa rectangular de: 16.5" x52" y $\lambda=0.01$ .	48
4.7	Espectro de respuesta de una placa rectangular de: 16.5" x52" y $\lambda=0.1$ .	49
4.8	Espectro de respuesta de una placa rectangular de: 16.5" x52" y $\lambda=0.2$ .	50
4.9	Espectro de respuesta de una placa rectangular de: 16.5" x26" y $\lambda=0.0$ .	51
4.10	Espectro de respuesta de una placa rectangular de: 16.5" x26" y $\lambda=0.01$ .	52
4.11	Espectro de respuesta de una placa rectangular de: 16.5" x26" y $\lambda=0.1$ .	53
4.12	Espectro de respuesta de una placa rectangular de: 16.5" x26" y $\lambda=0.2$ .	54
4.13	Envolvente de los desplazamientos máximos de los es pectros 4.5 a 4.12.	55
4.14	Espectro de espectros.	56
4.15	Rango de aplicación de la expresión $\delta_{\max}=\delta_{\text{est}}/2\lambda$ .	57

## CAPITULO I

### INTRODUCCION

#### I.1 DESCRIPCION DEL PROBLEMA.

La Presa Hidroeléctrica Manuel Moreno Torres, "Chicoasén", se encuentra en funcionamiento desde 1980. Desde entonces se han detectado problemas de vibración en las tuberías de desfogue de sus turbinas debido al flujo de agua que se descarga a través de ellas y que les induce efectos dinámicos de frecuencia relativamente baja. Es necesario reforzar estas tuberías de desfogue con atiesadores longitudinales y circunferenciales a fin de asegurar que sus frecuencias naturales de vibración sean suficientemente altas para evitar efectos de resonancia que dañarían seriamente las instalaciones.

En el desarrollo de esta tesis se dará una primera solución al problema de vibración forzada de la estructura de desfogue. Es por esto que resulta importante primeramente, plantear el problema estructural sobre el que se va a trabajar y en seguida definir algunos de los términos que se utilizarán en los capítulos subsecuentes.

#### I.2 EFECTOS GLOBALES Y LOCALES.

Desde el punto de vista estructural se cuenta con una tubería de pared muy delgada a la salida de las turbinas Francis (fig.1.1) cuya geometría describe un cono corto truncado y que se encuentra sujeta a vibración forzada. La literatura que existe a este respecto no es muy extensa y algunas investigaciones son cuestionables.- El cascarón cónico en investigación se encuentra rigidizado por costillas de acero tanto longitudinal como circunferencialmente.

Cabe hacer notar que se ha observado una degradación en el acero de las paredes internas del cascarón en algunos puntos, lo que hace pensar en la posible existencia de efectos locales que no aparecen en el análisis general del cono. Es decir, que es importante también el estudio de las placas definidas por la retícula de atezadores. Por ejemplo: el cascarón cónico truncado y rigidizado tiene su forma propia de vibrar y puede no encontrarse en resonancia en algún momento en que las placas, por condiciones locales propias, se comporten como sistemas independientes y presenten fenómenos de resonancia.

Esta investigación surgió de la necesidad de conocer el comportamiento dinámico de las tuberías de desfogue de las turbinas instaladas en Chicoasén. Se encuentran aún dentro de su tiempo estimado de vida útil y sin embargo se han tenido que "parchar" y reforzar en algunos puntos e inclusive revestir con una capa de concreto en un intento por elevar las frecuencias naturales y resolver el problema.

La figura I.1 muestra las dimensiones y propiedades generales de la estructura en estudio.

### I.3 DEFINICIONES.

**HOMOGENEO.** Homogéneo es aquel cuerpo o sistema constituido por un solo material.

**ISOTROPO.** Se dice que es isótropo aquel material, cuerpo o sistema cuyas propiedades mecánicas son independientes de la dirección considerada.

**ORTOTROPIA.** La ortotropía se define cuando el sistema presenta diferencias en sus propiedades mecánicas en dos direcciones ortogonales.

**CASCARON.** Cascarón o estructura de pared delgada es un cuerpo tridimensional en el que el espesor es pequeño comparado con las -

dimensiones de su superficie. Un cascarón queda geoméricamente de finido por una superficie media y un espesor en cada uno de los -- puntos de dicha superficie. (Ref.4)

**PLACA.** Un cuerpo o sistema definido por dos superficies plaa-- nas y un espesor es denominado como placa. Las placas pueden estar sujetas a esfuerzos normales y tangenciales a sus superficies.

**MOVIMIENTO PERIODICO.** Todo aquel movimiento que se repite en intervalos de tiempo iguales se llama movimiento periódico. Una -- función  $f(t)$  es periódica, de período  $T$  si:  $f(t)$  está definida para toda  $t$  y si  $f(t)=f(t+T)$  para toda  $t$  (fig. 1.2a).

**MOVIMIENTO OSCILATORIO.** Movimiento oscilatorio es aquel que - describe un cuerpo en torno a un punto fijo (fig. 1.2b).

**MOVIMIENTO ARMONICO SIMPLE.** Un movimiento oscilatorio periódi-- co que puede ser representado por una función senoide o cosenoide se conoce como movimiento armónico simple (fig. 1.2c).

El matemático francés J.Fourier demostró que cualquier movi-- miento periódico de una partícula puede representarse como una com binación lineal de movimientos armónicos simples.

**PERIODO T.** El período de un movimiento armónico simple es el tiempo requerido para completar una oscilación completa o ciclo.

**FRECUENCIA f.** La frecuencia del movimiento es el número de os cilaciones por unidad de tiempo que efectúa una partícula y es por lo tanto el recíproco del período  $f=1/T$ .

**FRECUENCIA NATURAL.** Las frecuencias naturales de oscilación - son propiedades del sistema dinámico y dependen de su distribución de masa y rigidez. Un sistema tiene tantas frecuencias naturales - de oscilación como grados de libertad asignados. (Ref.3)

**GRADOS DE LIBERTAD.** El número de grados de libertad de un sistema determina el número de coordenadas independientes que se utilizan para definir aproximadamente la configuración de un sistema, que generalmente es un medio continuo.

**VIBRACION LIBRE.** Vibración libre es la que ocurre cuando un sistema oscila bajo la acción de fuerzas inherentes al sistema mismo y cuando las fuerzas externamente aplicadas son inexistentes. (Ref. 3)

**VIBRACION FORZADA.** Vibración forzada es la que tiene lugar bajo la excitación de fuerzas externas. Cuando la excitación es oscilatoria, el sistema es obligado a vibrar a la misma frecuencia de excitación. Si esta frecuencia está cerca de alguna de las frecuencias naturales del sistema se produce lo que se conoce como resonancia y ocurren oscilaciones o desplazamientos peligrosamente grandes. (Ref. 1,3)

**MODO NATURAL.** Modo natural o modo normal de oscilación de un sólido elástico discretizado es la configuración del sistema cuando cada punto al que ha sido asignado una masa, experimenta un movimiento armónico de la misma frecuencia, pasando simultáneamente por la posición de equilibrio. (Ref. 3)

La figura 1.3 muestra un sistema de dos grados de libertad y sus posibles modos naturales de oscilación.

A cada una de las frecuencias naturales de oscilación del sistema se les asocia un modo natural de oscilación. Un sistema con un número infinito de grados de libertad como lo son los sistemas continuos (vigas, placas, cascarones, etc.) tienen también un número infinito de modos naturales de oscilación.

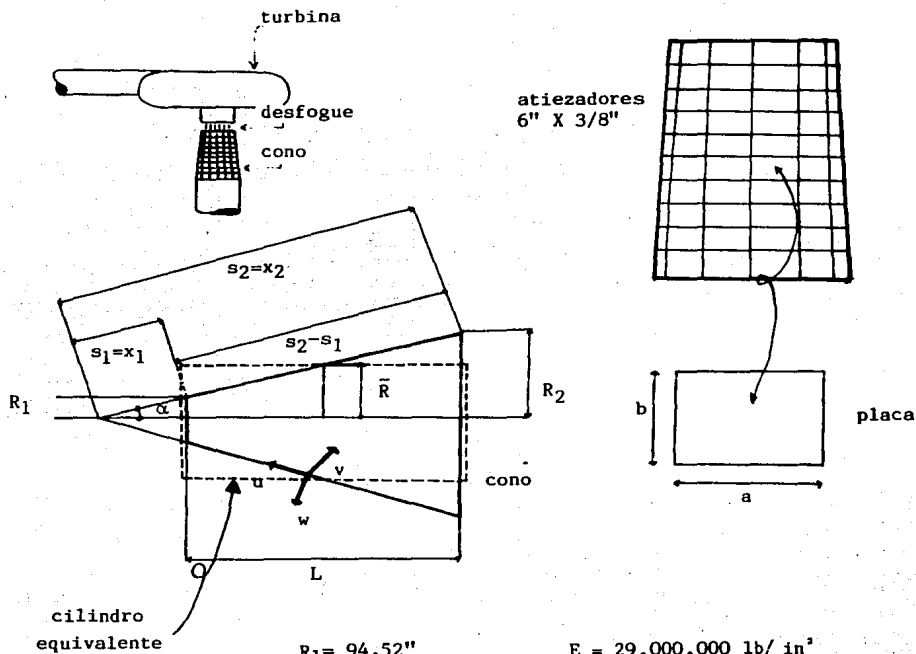
**AMORTIGUAMIENTO.** La fuerza de amortiguamiento trata de restablecer el equilibrio de la estructura o sistema en vibración.

El amortiguamiento del movimiento oscilatorio de un sólido elástico se dá en todos los casos en mayor o menor medida, puesto que la energía se disipa debido a resistencias del mismo sistema - como fricción entre sus superficies o componentes, acción del agua o viento, fricción interna debida a imperfecciones en la elasticidad del material, etc.

En el caso de fricción entre dos superficies secas generalmente es aplicable la ley de Coulomb-Morin que considera que la fuerza de fricción es directamente proporcional a la componente de la presión normal a la superficie, es decir  $F = \mu N$ , donde  $\mu$  es el coeficiente de fricción que depende del material y de la rugosidad de las superficies.

**AMORTIGUAMIENTO CRITICO.** Se denomina amortiguamiento crítico a aquél para el cual el movimiento pierde su carácter vibratorio. En vibración libre se define como amortiguamiento crítico a aquél para el cual el sistema, después de desplazado volvería a su posición de reposo en forma monotonica y sin oscilar.

La constante de amortiguamiento puede expresarse como una fracción del amortiguamiento crítico  $\lambda = C/C_{\text{crítico}}$ . (Ref. 2,3)

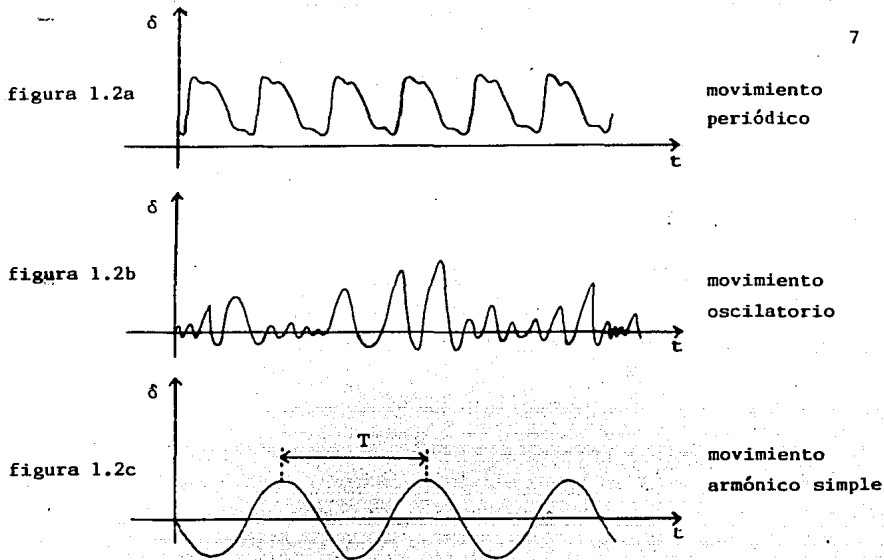


$$\begin{aligned}
 R_1 &= 94.52'' \\
 R_2 &= 112.40'' \\
 \bar{R} &= 103.46'' \\
 L &= 176.02'' \\
 s_1 &= 935.32'' \\
 s_2 &= 1112.25'' \\
 \alpha &= 5.8^\circ \\
 h &= 3/8''
 \end{aligned}$$

$$\begin{aligned}
 E &= 29,000,000 \text{ lb/in}^2 \\
 \rho &= 0.000734 \text{ lb/in}^3 \\
 \nu &= 0.3 \\
 a &= 52.0'' \\
 b &= 16.5''
 \end{aligned}$$

figura 1.1

Dimensiones y propiedades generales  
de la estructura en estudio.



Configuración modal

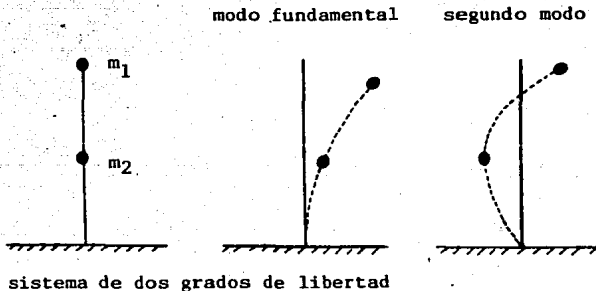


figura 1.3

## CAPITULO II

## REVISION BIBLIOGRAFICA

El estudio de vibraciones libres y frecuencias naturales de cascarones cónicos es en realidad complejo. Diversos investigadores han aplicado simplificaciones al análisis logrando resultados que representan en forma aproximada el comportamiento real de la estructura. Sin embargo, muchas de estas teorías presentan serias restricciones en su aplicación.

Con la finalidad de unificar la nomenclatura, todos los parámetros geométricos estarán referidos a los presentados en la figura 1.1.

V.I. Weingarten en su artículo "Vibraciones libres de cascarones cónicos" (Ref.5) proporciona datos experimentales de vibración de cascarones cónicos para diferentes condiciones de apoyo en sus bordes. Se basa en las ecuaciones lineales de Donnell, modificadas para incluir los términos de inercia. Considera que los efectos de las inercias longitudinal y circunferencial son despreciables para un número de modo circunferencial mayor a tres, por lo que sólo toma en cuenta la inercia radial, incluyendo los efectos de alargamiento y acortamiento y de flexión del cono debidos a la vibración. Utiliza el método de Galerkin y considera a los desplazamientos como series de potencias. Los valores que obtuvo para las frecuencias a partir del análisis teórico fueron menores a los obtenidos de los experimentos. Esto lo explica Weingarten como una consecuencia de un cierto grado de empotramiento en los apoyos de borde de los conos experimentales. Sin embargo estos datos solo siguen el comportamiento teórico cuando el número de modo circunferencial es pequeño. Realizó también experimentos para un "cilindro equivalente" y los resultados obtenidos son satisfactorios.

torios para números de modo circunferenciales bajos;  $n \leq 7$  para  $m=1$  y  $n \leq 4$  para  $m=2$ .

Las características de ese cascarón cilíndrico equivalente, fig 1.1, son: longitud  $L = s_2 - s_1$  igual a la longitud meridional o inclinada del cono, radio  $R = \bar{R}$  igual al radio de curvatura medio del cono e igual espesor  $h$ . Paul Seide (Ref.8) comenta que la proposición del cilindro equivalente ha demostrado, en investigaciones de estabilidad de cascarones cónicos, ser de utilidad. Los resultados de este trabajo indican que las frecuencias naturales del cilindro equivalente son aproximadamente iguales para conos -- cuyo ángulo  $\alpha$  sea menor a  $17^\circ$ .

Paul Seide en su artículo "Vibraciones libres en cascarones cónicos truncados simplemente apoyados" (Ref.8) plantea las expresiones que determinan las frecuencias naturales de vibración y -- las formas modales de cascarones cónicos simplemente apoyados a -- partir de una solución aproximada con el método de Rayleigh-Ritz a la ecuación de movimiento de cascarones. Considera dos tipos de soportes, uno para el cual los desplazamientos en los bordes de -- la circunferencia son nulos y el segundo caso cuando los esfuer--zos cortantes son nulos. Señala que el desplazamiento circunferen--cial es despreciable comparado con los cambios de curvatura de la superficie media y por lo tanto sólo toma en cuenta la energía cinética del movimiento normal a dicha superficie. Para conos muy abiertos, Seide hace notar que no es suficiente tomar uno o dos -- términos de las aproximaciones de Galerkin o Rayleigh-Ritz. La solución aproximada, para las frecuencias naturales del cascarón cónico que presenta, proporcionó un importante parametro de comparación con la teoría que se presentará en el capítulo siguiente, y los resultados serán analizados en el capítulo IV. La ecuación -- que presenta Seide es la siguiente:

$$f = \omega / 2\pi$$

$$\omega = \frac{K_c}{h \tan^2 \alpha} \sqrt{[12(1-\nu^2)E/\rho]} \quad (2.1)$$

$$K_c^2 = \left\{ \frac{2}{U(1+S)} \right\}^2 \left\{ \left[ \frac{m\pi}{2} \frac{1+S}{1-S} \right]^2 + \eta^2 \right\}^2 + \left\{ \frac{2}{U(1+S)} \right\}^2 \left[ \frac{m\pi}{2} \frac{1+S}{1-S} \right]^4 + \left\{ \frac{m\pi}{2} \frac{1+S}{1-S} \right\}^2 + \eta^2 \quad (2.2)$$

m: número de modo longitudinal

n: número de modo circunferencial

$$S = R_1/R_2$$

$$U = \sqrt{12(1-\nu^2)} \frac{R_2/\cos \alpha}{h} \cot^2 \alpha$$

$$\eta = n/\text{sena}$$

Garnet, Goldberg y Salerno (Ref. 6) estudiaron el movimiento axisimétrico de un cascarón cónico doblemente empotrado. Presentan el parámetro de frecuencia como la raíz de una ecuación característica con funciones de Bessel, que no es función del ángulo  $\alpha$ .- Proporcionan una tabla con las primeras cinco raíces de la ecuación característica para valores de  $\eta$  de 1 a 50, siendo  $\eta = s_2/s_1$ . Para los modos torsionantes incluyeron los efectos de deformación por cortante e inercia rotacional.

Por su parte Keefe (Ref.6) considera el caso de movimiento o vibración meridional en que se considera que la sección transversal del cono permanece plana y que el movimiento solo ocurre en la dirección indicada, es decir que  $w=0$ . Esto, por supuesto, es solo una aproximación. Presenta una gráfica con las primeras cuatro raíces de su ecuación del parámetro de frecuencia  $\Omega_2 = \omega(s_2-s_1)/\sqrt{\rho/E}$ , en función de la relación de radios  $R_1/R_2$ .

Otra condición de borde que se presenta en la literatura de cascarones es aquella apoyada en diafragmas de cortante, figura - 2.1. Linholm y Hu (Ref.6) realizaron un extenso estudio para cas-

carones con esta condición de apoyo. La ecuación de comportamiento de cascarones desarrollada por Hu incluye los efectos de deformación por cortante, de inercia rotacional en la dirección meridional y desprecia los efectos en la dirección circunferencial al igual que Garnet, Goldberg y Salerno. Esta teoría es de suponerse sólo aplicable a cascarones cortos con número modal circunferencial pequeño y así lo demuestran los ejemplos numéricos que presenta. Por otra parte Lindholm y Hu señalan que la mínima frecuencia ocurre para valores de 'n' relativamente grandes ( $\geq 5$ ), y que la posición del desplazamiento máximo se corre hacia el extremo ancho del cono a medida que aumenta 'n'.

Herrman y Mirsky (Ref.6) utilizaron también el método de Ritz para analizar las vibraciones libres de cascarones cónicos apoyados en diafragmas de cortante. El parámetro de frecuencia lo presentan como una fracción de la frecuencia de un cascarón cilíndrico equivalente ( $\omega/\omega_0$ ) y es independiente de  $h/\bar{R}$ . Señalan que en un cascarón delgado tendrá mayor influencia el ángulo  $\alpha$  que en uno más grueso. Mientras tanto Grigolyuk (Ref.6) presenta una tabla de valores de su parámetro de frecuencia, similar al de Keefe  $\Omega_3 = \omega(s_2 - s_1) \sqrt{(1-\nu^2)}/E$  para el modo fundamental longitudinal para diferentes valores del ángulo  $\alpha$  y relaciones  $h/R_2$ . Indica además el número de modo circunferencial para el que ocurre la frecuencia mínima. Señala que para cascarones con poca conicidad la representación mediante cascarones cilíndricos equivalentes es adecuada.

Hyman Garnet y Joseph Kempner en 1964 estudiaron las vibraciones libres axisimétricas de cascarones cónicos (Ref.7) en términos del procedimiento de Rayleigh-Ritz. Señalan que la influencia de la inercia rotacional es pequeña comparada con la influencia de la deformación a la tensión en la vibración de conos cortos. La investigación se restringió a deformaciones axisimétricas y despreciaron el esfuerzo normal transversal. Solo mantuvieron los grados de libertad que permiten la deformación por tensión e inercia rotacio

nal. Incluyen un parámetro de completez del cono  $\delta = \frac{1}{2}(L/R)\tan\alpha$ . Si  $\delta$  es igual a la unidad indica un cono completo no truncado. La ecuación del número modal que presentan es:

$$\xi_m = m\pi/y_2 \quad \text{--- (2.3)}$$

donde  $y_2 = \ln(x_2/x_1)$  y el parámetro de frecuencia es:

$$\lambda = \rho(1-\nu^2)x_1^2\omega^2/E \quad \text{--- (2.4)}$$

La ecuación matricial para la obtención de las frecuencias naturales por el análisis de eigenvalores es:

$$[G] \{x\} = \{\lambda\}[H] \{x\}$$

donde  $[G]$  es la matriz de rigideces,  $[H]$  es la matriz de inercia y  $\{x\}$  es el vector de coeficientes de los desplazamientos  $u, w$  y de la rotación  $\beta_x$ .

Las ecuaciones para la obtención de los  $3n$  por  $3m$  valores de las matrices  $[G]$  y  $[H]$  son muy extensas y complicadas. Esto, aunado a la necesidad de una subrutina de solución de eigenvalores para matrices no simétricas (esto para valores de 'm' o 'n' mayores a 5) requiere de un mayor tiempo de proceso que cualquiera de las teorías revisadas en este capítulo e incluso que el que requiere la teoría de Soedel presentada en el capítulo siguiente. Los resultados del análisis de Garnet y Kempner son satisfactorios para conos largos, gruesos o delgados, con  $L/R$  mayor o igual a la unidad.

En este sentido se encontró que un parámetro adecuado para clasificar un cilindro como largo o corto es  $K = \sqrt{L/R} \sqrt{t/R}$  (Ref.15). Si  $K > 2$  un cascarón cilíndrico se transforma en una simple viga, independientemente del valor y tipo de la carga.

Los resultados de la teoría de Garnet y Kempner para valores de  $K < 0.5$  no convergen y como el cono que pretendemos estudiar es precisamente un cono corto de pared delgada con  $K = 0.33$ , dicha teoría no es aplicable.

En el congreso de la Asociación Internacional para cascarones y estructuras espaciales de 1985 en Moscú (Ref.14) se presentaron dos trabajos relacionados con la vibración forzada de estructuras. V.A.Smirnov presentó un estudio experimental para placas ortotrópicas mientras Budak Valery lo hizo para cascarones cilíndricos. Ambos obtienen resultados para casos muy particulares de resonancia a bajas frecuencias y formas de vibrar mediante métodos holográficos.

En 1970 David Miller y Franklin D.Hart (Ref.18) realizaron un extenso estudio de densidad de eigenvalores en cascarones cilíndricos. La densidad de eigenvalores es un concepto que surge de un número infinito de frecuencias naturales de una estructura continua, e indica la densidad de frecuencias en torno a la frecuencia de la excitación. Utilizan la solución aproximada de Godzevich para la ecuación de frecuencia.

El caso de vibración libre de una placa simplemente apoyada se encuentra con frecuencia en la literatura. Tomando como referencia el estudio de S.Timoshenko (Ref.1) la deformación de la placa durante la vibración se representa por la serie infinita:

$$w = \sum_m \sum_n \phi_{mn} \sin \frac{m\pi x}{a} \sin \frac{n\pi y}{b} \quad (2.5)$$

La ecuación de desplazamiento anterior satisface las condiciones de desplazamiento y momento flexionante nulos en las fronteras. Las frecuencias naturales de vibración de la placa están dadas por la siguiente ecuación:

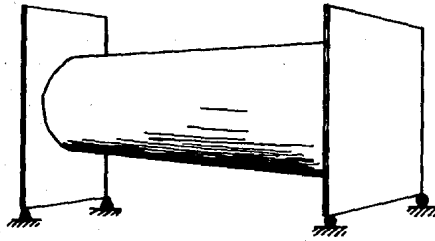
$$p = \pi^2 \sqrt{GD/Yh} (m^2/a^2 + n^2/b^2) \quad (2.6)$$

donde 'm' y 'n' son los números modales en las dos direcciones ortogonales de la placa, figura 2.2 .

Como se puede observar, sólo existen estudios de vibraciones libres en cascarones cónicos y cilíndricos. La vibración forzada de los mismos sólo se trata en estudios experimentales para corroborar las frecuencias de resonancia y para obtener resultados de esfuerzos o desplazamientos en casos particulares.

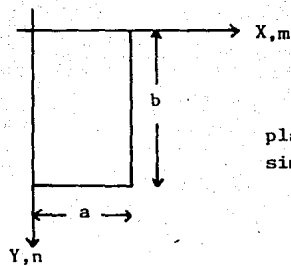
Debido a ésto, en el siguiente capítulo se estudia el caso más general de movimiento de cascarones con las simplificaciones pertinentes para un estudio paramétrico de vibración forzada de placas, como un primer paso, y para la obtención de las frecuencias naturales de un cascarón cónico.

diafragmas de cortante .



Condición de apoyo

figura 2.1



placa rectangular  
simplente apoyada



$m=1$   
 $n=1$



$m=1$   
 $n=3$

configuración modal  
figura 2.2

## CAPITULO III

## TEORIA GENERAL PARA UN SOLIDO ELASTICO

## 3.1 VIBRACIONES FORZADAS EN CASCARONES.

La teoría de vibraciones forzadas para un sólido elástico que se empleará, será la que presentó Werner Soedel en 1981 (Ref.10). - Dicha teoría, en base a sus parámetros, es aplicable a cualquier geometría, condición de carga o de frontera. En el presente capítulo se seguirá la teoría de Donnell-Mushtari-Vlasov que presenta Soedel, aplicada al problema particular que trata esta tesis.

Una perturbación excitará varias de las formas naturales de vibración de un cascarón. La cantidad o magnitud de la participación de cada una de ellas en la respuesta dinámica general, está determinada por el factor de participación modal  $\eta_{mnk}$ . Esto es que los modos naturales de un cascarón representan vectores ortogonales que satisfacen las condiciones de frontera de la estructura. Cualquier comportamiento de la misma puede ser representado en este espacio vectorial.

Para sistemas continuos, como es el caso de cascarones o placas, el número de grados de libertad es infinito. Esto quiere decir que la solución general será una serie infinita como la siguiente:

$$u_i(\alpha_1, \alpha_2, t) = \eta_{mnk}(t) \sum_{m=1}^M \sum_{n=1}^N U_{imnk}(\alpha_1, \alpha_2) \quad (3.1)$$

donde  $i=1,2,3$

$m$  y  $n=1,2,3\dots$

$k=k(i)$

$\alpha_1, \alpha_2$  y  $t$  son las coordenadas de espacio, figura 3.3, y tiempo.

$\eta_{mnk}$  es el factor de participación modal en función del tiempo que será determinado en seguida.

$U_{imnk}$  es una función coordenada que depende de las condiciones de frontera. Para un espacio tridimensional, el equilibrio de un cascarón se puede reducir a tres ecuaciones diferenciales simultáneas en los tres desplazamientos  $U_{imnk}$  y por lo tanto se obtendrán tres funciones coordenadas 'i' independientes entre sí para los tres valores característicos o eigenvalores 'k' de cada modo natural de vibración 'mn'.

Por ejemplo, para el caso más simple de una viga en flexión -- simplemente apoyada, se puede demostrar (Ref.11) que sus funciones coordenadas adoptan la siguiente forma general:

$$\phi(x) = A \text{ sen } Bx$$

donde A y B dependen de la geometría del sistema y de sus frecuencias naturales.

Similarmente, para una placa también en flexión, simplemente a apoyada, sus funciones coordenadas serían de la siguiente forma:

$$\phi(x,y) = A \text{ sen } Bx \text{ sen } Cy$$

donde  $B=m\pi/a$  y  $C=n\pi/b$ , siendo 'a' y 'b' las dimensiones de la placa y 'm' y 'n' los números modales a lo largo de los dominios de longitud 'a' y 'b', - figura 3.2 .

Las ecuaciones operacionales de movimiento aplicables a cualquier geometría son:

$$L_i(u_1, u_2, u_3) - \lambda \ddot{u}_i - \rho \ddot{u}_i = -q_i \quad \text{---(3.2)}$$

donde:

$i=1,2,3$

$\lambda$  es el factor de amortiguamiento. Se considera que tiene el mismo valor en cualquier dirección.

$q_i$  es la componente de la carga en la dirección 'i'.  $L_i$  pueden ser los operadores de Love (Ref.10) que son función de los esfuerzos cortantes y normales, de los radios de curvatura y de los parámetros de Lamé. En el presente trabajo no se estudiarán más a fondo los operadores  $L_i$  ni los parámetros de Lamé, se puede encontrar mayor información en la referencia 20.

Derivando con respecto al tiempo la ecuación (3.1) se tiene:

$$\begin{aligned} \dot{u}_i &= \dot{\eta}_{mnk} \sum_{m=1}^M \sum_{n=1}^N U_{imnk} \\ \ddot{u}_i &= \ddot{\eta}_{mnk} \sum_{m=1}^M \sum_{n=1}^N U_{imnk} \end{aligned} \quad (3.3)$$

Haciendo hincapié en que tanto la función coordenada como el factor de participación modal dependen del eigenvalor 'k' considerado, en lo sucesivo no se anotará más. Además, teniendo en cuenta que los subíndices i, m y n de la función coordenada  $U_{imnk}$  son índices libres, mientras que los del factor de participación modal  $\eta_{mnk}$  indican tan solo que se encuentra asociado a los valores de los modos, se entenderá que  $\eta_{mn} \sum \sum U_{imn}$  no es un escalar como solución de un producto punto, sino un tensor de orden tres.

Tomando en cuenta lo anterior y rescribiendo la ecuación (3.2) se tiene que:

$$L_i (\sum \sum U_{imn} \eta_{mn}, \sum \sum U_{2mn} \eta_{mn}, \sum \sum U_{3mn} \eta_{mn}) - \lambda \sum \sum U_{imn} \dot{\eta}_{mn} - \rho h \sum \sum U_{imn} \ddot{\eta}_{mn} = q_i \quad (3.4)$$

Por otra parte, del análisis de eigenvalores se conoce que:

$$u_i(\alpha_1, \alpha_2, t) = U_{imn}(\alpha_1, \alpha_2) e^{j\omega t}$$

entonces, 
$$L_i(U_{1mn}, U_{2mn}, U_{3mn}) = -\rho h \omega_{mn}^2 U_{imn} \quad (3.5)$$

Sustituyendo (3.5) en (3.4),

$$\Sigma \Sigma \rho h \omega_{mn}^2 U_{imn} \eta_{mn} + \Sigma \Sigma \lambda U_{imn} \ddot{\eta}_{mn} + \Sigma \Sigma h U_{imn} \ddot{\eta}_{mn} = q_i \quad (3.6)$$

Realizando la sumatoria a lo largo del dominio infinito  $M^{\infty}$  y  $N^{\infty}$ .

$$\sum_{m=1}^M \sum_{n=1}^N U_{imn} (\rho h \ddot{\eta}_{mn} + \lambda \ddot{\eta}_{mn} + \rho h \omega_{mn}^2 \eta_{mn}) = q_i \quad (3.7)$$

Lo que en notación matricial se puede indicar como:

$$[U_{imn}] \{\psi_{mn}\} = \{q_i\} \quad (3.8)$$

donde  $\psi_{mn} = \rho h \ddot{\eta}_{mn} + \lambda \ddot{\eta}_{mn} + \rho h \omega_{mn}^2 \eta_{mn}$

Premultiplicando ambos términos de la ecuación (3.8) por la matriz  $[U_{imn}]$  y tomando en cuenta que cada vector  $U_{imn}$  es perpendicular a  $U_{imn}$  si  $i \neq i$  y  $mn \neq mn$ , se obtiene:

$$(U_{1mn}^2 + U_{2mn}^2 + U_{3mn}^2) \psi_{mn} = U_{1mn} q_1 + U_{2mn} q_2 + U_{3mn} q_3 \quad (3.9)$$

Integrando punto a punto a lo largo de toda la superficie,

$$\int_{\alpha_2} \int_{\alpha_1} (U_{1mn}^2 + U_{2mn}^2 + U_{3mn}^2) \psi_{mn} A_1 A_2 d\alpha_1 d\alpha_2 = \int_{\alpha_2} \int_{\alpha_1} (U_{1mn} q_1 + U_{2mn} q_2 + U_{3mn} q_3) A_1 A_2 d\alpha_1 d\alpha_2$$

y despejando  $\psi_{mn}$  se llega a:

$$\psi_{mn} = \frac{\int \int (U_{1mn} q_1 + U_{2mn} q_2 + U_{3mn} q_3) A_1 A_2 d\alpha_1 d\alpha_2}{\int \int (U_{1mn}^2 + U_{2mn}^2 + U_{3mn}^2) A_1 A_2 d\alpha_1 d\alpha_2} \quad (3.10)$$

Finalmente:

$$\ddot{\eta}_{mn} + \frac{\lambda}{\rho h} \dot{\eta}_{mn} + \omega_{mn}^2 \eta_{mn} = F_{mn}(\alpha_1, \alpha_2, t) \quad \text{---(3.11)}$$

$$F_{mn}(\alpha_1, \alpha_2, t) = \frac{1}{\rho h N_{mn}} \int_{\alpha_2} \int_{\alpha_1} (U_{1,mn} q_1 + U_{2,mn} q_2 + U_{3,mn} q_3) A_1 A_2 d\alpha_1 d\alpha_2 \quad \text{---(3.12)}$$

$$N_{mn} = \int_{\alpha_2} \int_{\alpha_1} (U_{1,mn}^2 + U_{2,mn}^2 + U_{3,mn}^2) A_1 A_2 d\alpha_1 d\alpha_2 \quad \text{---(3.13)}$$

La ecuación (3.11) puede ser escrita en términos del coeficiente de amortiguamiento modal  $\zeta_{mn}$ ,

$$\zeta_{mn} = \frac{\lambda}{2\rho h \omega_{mn}} \quad \text{---(3.14)}$$

La expresión que involucra al factor de participación modal es:

$$F_{mn}(\alpha_1, \alpha_2, t) = \ddot{\eta}_{mn} + 2\zeta_{mn} \omega_{mn} \dot{\eta}_{mn} + \omega_{mn}^2 \eta_{mn} \quad \text{---(3.15)}$$

donde  $\omega_{mn}$  es la frecuencia natural de vibración del sistema para los modos naturales 'm' y 'n'.

Si la carga varía armónicamente con el tiempo y la parte transitoria es despreciable, su función será de la forma:

$$\begin{aligned} F_{mn}(\alpha_1, \alpha_2, t) &= F_{mn}^*(\alpha_1, \alpha_2) e^{i(\omega t - \phi_{mn})} \\ &= F_{mn}^*(\alpha_1, \alpha_2) [\cos(\omega t - \phi_{mn}) + i \operatorname{sen}(\omega t - \phi_{mn})] \end{aligned}$$

y si se considera que la carga de excitación del sistema es simétrica en el tiempo, sólo se toma en cuenta la parte real de la expresión anterior, es decir:

$$F_{mn}^*(\alpha_1, \alpha_2) \cos(\omega t - \phi_{mn})$$

donde el ángulo de fase  $\phi_{mn}$  se obtiene de la siguiente expresión, - (Ref.10):

$$\phi_{mn} = \arctan \frac{2\zeta_{mn}(\omega/\omega_{mn})}{1-(\omega/\omega_{mn})^2} \quad (3.16)$$

siendo  $\omega$  la frecuencia de la excitación.

Se puede demostrar que la magnitud de la respuesta es:

$$\Lambda_{mn} = \frac{F_{mn}^*}{\omega_{mn}^2 \sqrt{[1-(\omega/\omega_{mn})^2]^2 + 4\zeta_{mn}^2(\omega/\omega_{mn})^2}} \quad (3.17)$$

con lo que el factor de participación modal es:

$$\eta_{mn} = \Lambda_{mn} \cos(\omega t - \phi_{mn}) \quad (3.18a)$$

por lo que los desplazamientos serán calculados como sigue:

$$u_i = U_{imn} \Lambda_{mn} \cos(\omega t - \phi_{mn}) \quad (3.18b)$$

### 3.2 VIBRACIONES LIBRES.

#### 3.2.1 Cálculo de frecuencias naturales y funciones coordenadas en placas.

A partir de las tres ecuaciones operacionales de movimiento (3.2) se obtiene la ecuación de vibraciones libres de una placa. Se tomarán en cuenta, por lo tanto, sólo las fuerzas verticales de inercia pues se supone que el desplazamiento transversal 'w' del sistema es el dominante. Se puede demostrar que para un amortiguamiento y fuerzas externas nulas, las ecuaciones (3.2) se reducen a la siguiente expresión:

$$\nabla^2 u_z + \frac{\rho h}{D} \frac{\partial^2 u_z}{\partial t^2} = 0 \quad \text{---(3.19)}$$

donde  $u_z$  es la deflexión.

Para una placa simplemente apoyada  $u_z = u_0(x, y)$  y  $\partial u_z / \partial t = v_0(x, y)$ , siendo  $u_0$  y  $v_0$  las condiciones iniciales de deflexión y velocidad.

Ahora, de la misma forma en que la ecuación (3.5) satisface a (3.4), se sustituye (3.19) en (3.20). Simplificando se obtiene:

$$(m\pi/a)^4 + 2(mn\pi^2/ab)^2 + (n\pi/b)^4 - \rho h \omega_{mn}^2 / D = 0$$

y de aquí que las frecuencias naturales de oscilación de la placa son:

$$\omega_{mn} = (\pi/ab)^2 \sqrt{D/\rho h} (m^2 b^2 + n^2 a^2) \quad \text{---(3.20)}$$

V.G.Rekach (Ref.19) investiga las oscilaciones propias de una placa rectangular ( $a \times b$ ) con sus cuatro lados articulados, figura 3.3. La función coordenada que satisface dichas condiciones de frontera es:

$$U_{mn} = \text{sen} \frac{m\pi x}{a} \text{sen} \frac{n\pi y}{b} \quad \text{---(3.21)}$$

Para otro tipo de apoyos, las funciones coordenadas serán más complicadas. Por ejemplo para una placa con tres bordes simplemente apoyados y el cuarto, en  $x=a$ , libre, su función coordenada será -- (Ref.11):

$$U_{mn} = A(\text{sen}ax + \text{sen}hax)(\text{sen}By)$$

### 3.2.2 Vibraciones libres en cilindros y conos ortotrópicos.

El estudio de vibraciones libres en sistemas complejos como cilindros, conos, esferas, etc. no es tan sencillo y no se tratará en detalle en esta tesis.

Debido a la necesidad de obtener las frecuencias naturales para la tubería de Chicoasén se utilizarán las expresiones disponibles en la literatura.

Werner Soedel obtiene (Ref.10) la siguiente expresión para el cálculo de las frecuencias naturales de oscilación de un cascarón circular cilíndrico ortotrópico, para aquellos modos naturales en los que predomina la deformación transversal.

$$\omega_{mn}^2 = \frac{1}{\rho h} \left( (D_{11} (m\pi/L)^4 + 2(D_{12} + 2D_{33})(n/a)^2 (m\pi/L)^2 + D_{22} (n/a)^4 + (A_{11} A_{22} - A_{12}^2)(m\pi/L)^4 + a^2 \left( A_{11} (m\pi/L)^4 + A_{22} (n/a)^4 + \frac{(A_{11} A_{22} - A_{12}^2 - 2A_{12} A_{33})}{A_{33}} (n/a)^2 (m\pi/L)^2 \right) \right) \quad (3.22)$$

donde  $\rho$  es la densidad  
 $h$  es el espesor  
 $m$  es el número modal natural longitudinal  
 $n$  es el número modal natural circunferencial  
 $L$  es la longitud meridional  
 $a$  es el radio de curvatura  
 $A_{ij}$  son los coeficientes de la rigidez a esfuerzos normales.  
 $D_{ij}$  son los coeficientes de la rigidez a la flexión,  
 es decir que:

$$M_{xx} = D_{11}K_{xx} + D_{12}K_{yy}$$

$$M_{yy} = D_{12}K_{xx} + D_{22}K_{yy}$$

$$M_{xy} = D_{33}K_{xy}$$

$$N_{xx} = A_{11}\epsilon_{xx} + A_{12}\epsilon_{\theta\theta}$$

$$N_{\theta\theta} = A_{12}\epsilon_{xx} + A_{22}\epsilon_{\theta\theta}$$

$$N_{x\theta} = A_{33}\epsilon_{x\theta}$$

Wilhelm Flügge (Ref.11) realizó un estudio para cascarones cilíndricos ortotrópicos con anillos y atezadores. Presenta las siguientes expresiones de elasticidad para rigideces:

$$N_{\phi} = D_{\phi}(\dot{v}+w)/a + D_{\nu}\dot{u}/a - S_{\phi}\ddot{w}/a^2$$

$$N_x = D_x\dot{u}/a + D_{\nu}(\dot{v}+w)/a - S_x\ddot{w}/a^2$$

$$N_{\phi_x} = D_{\phi_x}(\dot{u}+\dot{v})/a$$

$$M_{\phi} = K_{\phi}\ddot{w}/a^2 + K_{\nu}\dot{w}/a^2 - S_{\phi}(\dot{v}+w)/a$$

$$M_x = K_x\ddot{w}/a^2 + K_{\nu}\dot{w}/a^2 - S_x\dot{u}/a$$

$$M_{\phi_x} = K_{\phi_x}\dot{w}/a^2$$

Los términos de las rigideces de momentos  $S_{\phi}$  y  $S_x$  están en función de las distancias centroidales  $c_{\phi}$  y  $c_x$ , las cuales son nulas - si la superficie media se considera que está localizada en  $R = a + c_x$ , figura 3.4 .

Entonces corresponden las ecuaciones de Flügge y Soedel de la siguiente forma:

$$E_{11} = K_x = \frac{Et^3}{12(1-\nu^2)} + \frac{E(I_x + A_x c_x^2)}{b_2} \quad \text{---(3.23)}$$

$$D_{22} = K_\phi = \frac{Et^3}{12(1-\nu^2)} + \frac{E(I_\phi + A_\phi c_\phi^2)}{b_1} \quad \text{---(3.24)}$$

$$D_{12} = K_\nu = \frac{Et^3}{12(1-\nu^2)} \quad \text{---(3.25)}$$

$$D_{33} = K_{\phi x} = \frac{Et^3}{12(1+\nu)} + \frac{GJ_x}{b_2} \quad \text{---(3.26)}$$

$$A_{11} = D_x = \frac{Et}{1-\nu^2} + \frac{EA_x}{b_2} \quad \text{---(3.27)}$$

$$A_{22} = D_\phi = \frac{Et}{1-\nu^2} + \frac{EA_\phi}{b_1} \quad \text{---(3.28)}$$

$$A_{12} = D_\nu = \frac{Et}{(1-\nu^2)} \quad \text{---(3.29)}$$

$$A_{33} = D_{\phi x} = \frac{Et}{2(1+\nu)} \quad \text{---(3.30)}$$

donde: E: módulo de elasticidad

$\nu$ : módulo de Poisson

t: espesor

A,  $A_x$ : área transversal de anillos y aticizadores .

$b_1, b_2$ : separación entre anillos y aticizadores.

$c_\phi, c_x$ : distancia de la superficie media al centro-  
de de anillos y aticizadores.

$G$  : coeficiente de Lamé,  $G=E/2(1+\nu)$ .

$J_{\phi}, J_x$ : momento polar de inercia de anillos y atiezadores.

Todos los parámetros anteriores están referidos a la figura - 3.4.

Modificaciones al análisis anterior.

Debido a las grandes vibraciones que se registraron en el desfogue de las tuberías de Chicoasén, se tomó la decisión en campo - de recubrir las tuberías con una capa de concreto. Para revisar el comportamiento de este nuevo sistema y analizar las frecuencias naturales del cascarón cónico rigidizado con atiezadores de acero y un recubrimiento de concreto es necesario modificar algunos de los términos que intervienen en la ecuación (3.22) en lo referente a - la masa y a la rigidez del sistema.

La densidad por unidad de superficie será la que se obtenga - de sumar las rigideces del concreto y del acero como se indica a - continuación:

$$\rho t + \rho_c t_c$$

donde el subíndice 'c' indica propiedades del concreto, figura 3.4.

Los términos de la rigidez se modificarán en las ecuaciones:

$$(3.23c) \quad D_{11c} = D_{11} + E_c(I_{xc} + A_{xc}c_{xc}^2)/b_2$$

$$(3.24c) \quad D_{22c} = D_{22} + E_c(I_{\phi c} + A_c c_{\phi c}^2)/b_1$$

$$(3.27c) \quad A_{11c} = A_{11} + E_c A_{xc}/b_2$$

$$(3.28c) \quad A_{22c} = A_{22} + E_c A_{\phi c}/b_1$$

Como se verá más adelante, el uso de materiales como el con--creto aumenta excesivamente la masa y aporta una contribución muy pequeña de rigidez.

En vista de que esta medida no dió los resultados esperados y dado que es importante aumentar la rigidez del sistema con el mínimo aumento de la masa, se proponen atezadores de acero de sección 'T', sin recubrimiento de concreto. Las ecuaciones (3.23) a (3.30) no se modifican. Los resultados se presentan y analizan en el siguiente capítulo.

Debido a la falta de información del comportamiento de casca- rones en vibración forzada, se analiza a fondo el caso más simple: vibración forzada de una placa rectangular simplemente apoyada. Se obtiene de esta forma una cota superior al comportamiento real del sistema.

### 3.3 Aplicación a vibración forzada de placas.

En este ejemplo se realizará el análisis de una placa simple- mente apoyada y sujeta a carga unitaria uniformemente distribuida y de variación armónica en el tiempo.

Se puede demostrar (ref.10) que para sistemas coordenados car- tesianos rectilíneos, como es el caso de placas,  $A_1=A_2=1$ ,  $d\alpha_1=dx$  y  $d\alpha_2=dy$ .

Debido a que la carga se encuentra uniformemente distribuida en la superficie de la placa,  $q_1=q_2=0$ , mientras que  $q_3=1$ , figura - 3.3 .

Tomando la siguiente función coordenada para una placa simple- mente apoyada en sus bordes,

$$U_{mn} = \text{sen } \frac{m \pi x}{a} \text{ sen } \frac{n \pi y}{b} \quad \text{_____ (3.31)}$$

y resolviendo la integral de la ecuación (3.13),

$$N_{mn} = \int_0^a \int_0^b \sin^2 \frac{m\pi x}{a} \sin^2 \frac{n\pi y}{b} dx dy$$

$$N_{mn} = ab/(4m^2 n^2) [\sin^2(m\pi x/a) \cos(n\pi x/a)]_{x=0}^a [\sin^2(n\pi y/b) \cos(n\pi y/b)]_{y=0}^b$$

$$N_{mn} = (ab)/4$$

Resolviendo ahora la ecuación (3.12),

$$F_{mn}^* = \frac{1}{h(ab/4)} \int_0^a \int_0^b \sin \frac{m\pi x}{a} \sin \frac{n\pi y}{b} dx dy$$

$$F_{mn}^* = 4/(\rho hab) [ab/mn\pi^2 \cos(m\pi x/a) \cos(n\pi y/b)]_{x=0}^a ]_{y=0}^b$$

$$\text{para 'm' y 'n' impares} \quad F_{mn}^* = 16/(\rho h\pi^2 mn)$$

$$\text{para 'm' ó 'n' pares} \quad F_{mn}^* = 0$$

Para placas en las que las oscilaciones transversales son dominantes, se propone entonces la siguiente secuencia de cálculo para la obtención del desplazamiento de una placa simplemente apoyada de dimensiones (aXb) sujeta a vibración forzada por una carga unitaria uniformemente distribuida sobre su superficie en forma oscilatoria para los modos naturales 'm' y 'n' impares:

1 Rigidez a la flexión

$$D = \frac{Eh^3}{12(1-\nu^2)} \quad \text{---(3.32)}$$

## 2 Frecuencias naturales.

$$\omega_{mn} = (\pi/ab)^2 \sqrt{D/\rho h} (m^2 b^2 + n^2 a^2) \quad \text{--- (3.33)}$$

## 3 Matriz de carga.

$$F_{mn}^* = 16/(\pi^2 mn \rho h) \quad \text{--- (3.34)}$$

## 4 Coeficiente de amortiguamiento modal.

$$\zeta_{mn} = \lambda / (2 \rho h \omega_{mn}) \quad \text{--- (3.35)}$$

## 5 Magnitud de la respuesta, ecuación (3.17).

## 6 Angulo de fase, ecuación (3.16).

## 7 Factor de participación modal, ecuación (3.18).

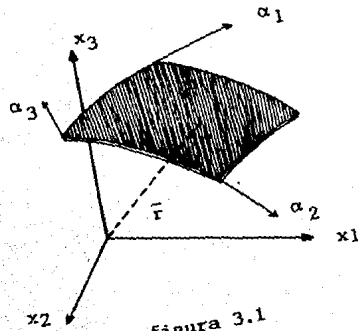
## 8 Desplazamiento.

$$\delta_{mn} = \eta_{mn} \text{sen}(m \pi x/a) \text{sen}(n \pi y/b) \quad \text{--- (3.36)}$$

9 Desplazamiento total de la placa en el punto de coordenadas  $(x_0, y_0)$  para el tiempo  $t_0$ .

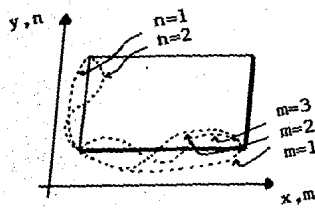
$$\delta = \sum_{m=1}^M \sum_{n=1}^N \delta_{mn}(x_0, y_0, t_0) \quad \text{--- (3.37)}$$

La secuencia anterior es fácil de programar. Más adelante se darán algunas modificaciones para optimizar la obtención de los datos significativos en el análisis del comportamiento dinámico de -placas.



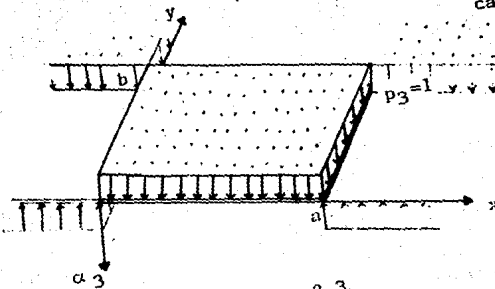
sistema  
coordinado  
tridimensional.

figura 3.1



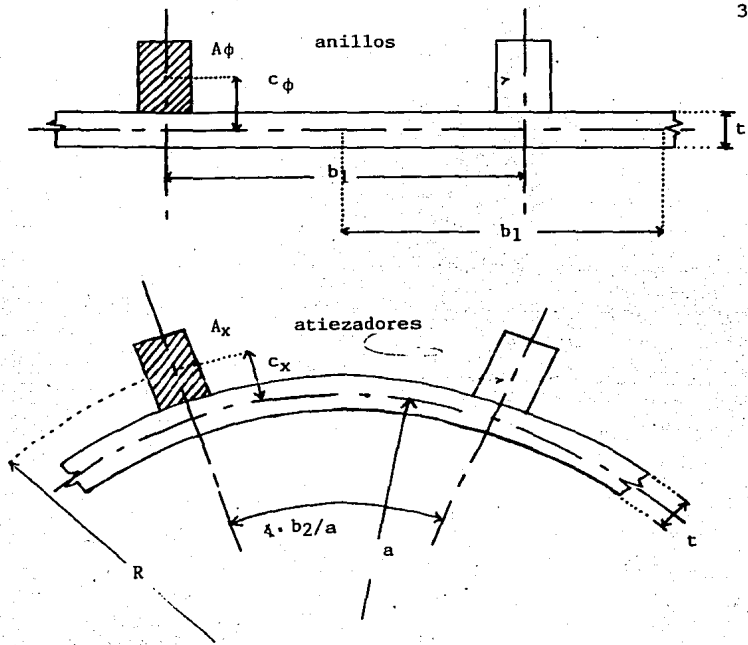
configuración  
modal.

figura 3.2



sistema de  
cargas.

figura 3.3



Parámetros geométricos del cilindro rigidizado

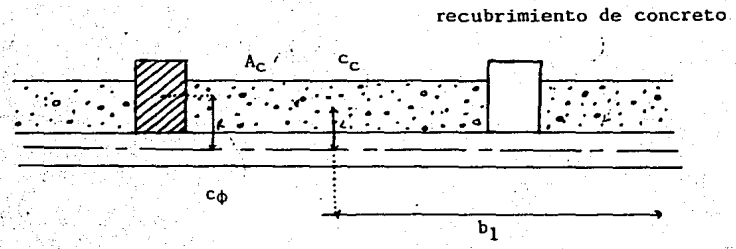


figura 3.4

## CAPITULO IV

## ANALISIS NUMERICO

## 4.1 FRECUENCIAS NATURALES EN CONOS Y CILINDROS.

Para obtener las frecuencias naturales de vibración del cascarón cónico en estudio, se utilizó la teoría de Donnell-Mushtari-Vlasov presentada en el capítulo anterior (Ref.10) para un cascarón cilíndrico. De acuerdo con resultados analíticos de esta teoría y de los resultados experimentales que presenta Seide (Ref.8) el "cilindro equivalente" es aplicable a conos cuyo ángulo de semivértice sea pequeño. Por ejemplo, para un cono cuyo radio medio  $R=50"$ , su longitud  $L=100"$  y su espesor  $h=5"$ , las frecuencias naturales para ángulos de  $0^\circ$  a  $20^\circ$ , para  $m=1$  y  $n=1$  en conos y cilindros son las siguientes:

$\alpha$	cono <sup>1</sup>	cilin. <sup>2</sup>	% cono cilin
$0^\circ$	451 cps	451 cps	100%
5	450	451	99
10	445	451	98
15	437	451	96
20	425	451	94

Y si se tiene en cuenta que para cualquier valor de  $\alpha$  entre  $-\pi/6$  y  $+\pi/6=15^\circ$ , el error en aproximar  $\text{sen}\alpha \approx \alpha$  es menor al 2.4%, - la teoría del cilindro equivalente es aplicable a conos cuyo ángulo  $\alpha$  sea menor a  $17^\circ$  aproximadamente. Por lo tanto es perfectamente válida su aplicación al estudio del cascarón cónico de Chicocásén, aún cuando éste es un cascarón ortotrópico.

A continuación se presentan sus resultados como un caso particular de aplicación.

<sup>1</sup>ec(2.2), <sup>2</sup>ec(3.22)

#### 4.2 FRECUENCIAS NATURALES DEL TUBO DE DESFOGUE DE LA P.H. DE CHICOASEN.

Las frecuencias naturales del cascarón de diseño, figura 1.1, se presentan en la tabla 4.1 para los primeros modos naturales de vibración. La frecuencia natural mínima es de 113.7 cps, lo que equivale a 713 rad/seg y ocurre para  $m,n=1,3$ , es decir para el primer modo natural longitudinal y el tercer modo natural circunferencial, figura 4.1.

Como primer propuesta de refuerzo a los atiezadores, se propone aumentar al doble el espesor de las costillas de acero que rigidizan al cono, tabla 4.2. La menor frecuencia natural ocurre para  $m,n=1,2$  y es de 126.9 cps. Sólo aumenta un 12%.

Se sabe que para áreas iguales una sección 'T' es más eficiente que una sección rectangular al ofrecer un mayor momento de inercia con un aumento bajo del área transversal y por lo tanto de masa. Es por esto que como segunda medida se proponen anillos y atiezadores de acero de sección 'T'. En la tabla 4.3 se presentan las frecuencias naturales del cono en estudio, rigidizado con anillos y atiezadores de sección 'T', formados por dos costillas de acero de 6" por  $\frac{3}{8}$ ", figura 4.2. Es decir que es la misma cantidad de material que la que se utilizó en los resultados de la tabla 4.2. La menor frecuencia natural es de 141.9 cps para  $m,n=1,2$  y representa un incremento del 25% a la menor frecuencia del diseño original.

En realidad la estructura que ofrecería un mejor comportamiento dinámico, sería la conformada por dos cascarones concéntricos - ensamblados por costillas de acero, figura 4.2. Las frecuencias naturales de este sistema se presentan en la tabla 4.4 para 2 cascarones de  $\frac{3}{8}$ " de espesor, ensamblados con el diseño original de la retícula de atiezadores. La menor frecuencia es de 180.4 cps= 1133 rad/seg, 59% mayor que la del diseño original.

Las posibilidades de sistemas de rigidización con costillas y

cascarones de acero son múltiples. En las tablas 4.5 y 4.6 se presentan los resultados para otros dos casos.

A fin de investigar el comportamiento del tubo de desfogue recubierto con concreto se presentan en la tabla 4.7 las frecuencias naturales de oscilación del cascarón cónico de diseño atezado con costillas de acero y revestido con una capa de concreto de 10 pulgadas. Como se puede observar, la decisión que se tomó en campo no era la adecuada, ya que el concreto es un material que ofrece poco incremento de rigidez en relación con el aumento de masa. La menor frecuencia natural es de 86.96 cps, 23% menor a la menor frecuencia del diseño original, sin revestimiento de concreto. En la tabla 4.8 se muestran las frecuencias naturales de un cascarón cónico de concreto de 10" de espesor, con la finalidad de comparar los resultados con los anteriores y demostrar que la capa de concreto domina el comportamiento general del cascarón de acero rigidizado.

TABLA 4.1

costillas de 6" x 3/8",  
atiezadores a cada 52", anillos a cada 16.5".

m <sup>n</sup>	1	2	3
1	218.7559	132.3837	113.6984
2	284.9618	237.7578	214.4085

TABLA 4.2

costillas de 6" x 3/4",  
atiezadores a cada 52", anillos a cada 16.5".

m <sup>n</sup>	1	2	3
1	204.7318	126.8931	127.6482
2	282.1900	235.7716	229.6879

TABLA 4.3

sección 'T' con almas y patines de 6" x 3/8",  
atiezadores a cada 52", anillos a cada 16.5".

m <sup>n</sup>	1	2	3
1	207.1270	141.9102	171.1868
2	295.9580	267.1554	291.8823

TABLA 4.4

sección 'T' con almas de 6" x 3/8" y patines de 3/8" de espesor,  
atiezadores de 52" a cada 52", anillos de 16.5" a cada 16.5".

m <sup>n</sup>	1	2	3
1	202.1304	180.4107	254.2468
2	370.5074	388.5953	474.5010

TABLA 4.5

sección 'T' con almas de 12" x 3/8" y patines de 3/8" de espesor, atiezadores de 52" a cada 52", anillos de 16.5" a cada 16.5".

m <sup>n</sup>	1	2	3
1	235.1289	294.1552	463.1685
2	549.5844	655.3516	852.5215

TABLA 4.6

sección 'T' con almas de 12" x 3/8" y patines de 3/16" de espesor, atiezadores de 52" a cada 52", anillos de 16.5" a cada 16.5".

m <sup>n</sup>	1	2	3
1	224.8095	243.3613	372.7817
2	457.9296	526.8234	676.9608

TABLA 4.7

costillas de 6" x 3/8", atiezadores a cada 52", anillos a cada 16.5", 10" recubrimiento de concreto.

m <sup>n</sup>	1	2	3
1	124.8363	86.9481	112.3990
2	231.3347	199.4590	202.9556

TABLA 4.8

cascarón de concreto de 10" de espesor.

m <sup>n</sup>	1	2	3	4
1	101.9205	64.3115	52.0776	60.0327
2	143.3736	124.0995	112.6890	113.6999

El estudio del comportamiento de un sistema en vibración forzada va más allá de la simple obtención de sus frecuencias naturales. Debido a que en la literatura no existen estudios que proporcionen parámetros para diseño de tubos y conos en vibración forzada; se tomó la decisión de comenzar esa investigación. Se inicia con el caso más sencillo: una placa rectangular simplemente apoyada.

#### 4.3 VIBRACION FORZADA EN PLACAS RECTANGULARES.

Las condiciones de frontera reales de las placas en vibración, no son sencillas de establecer por lo que se propone estudiar una - cota superior al suponerlas simplemente apoyadas en sus bordes.

Una placa como cuerpo que posee masa y rigidez es capaz de vibrar. Cuando esta vibración tiene lugar bajo una excitación oscilatoria, la placa es obligada a vibrar a la frecuencia de excitación.

La respuesta de la placa se mide con el máximo desplazamiento que presenta durante un ciclo de carga cualquiera. Este desplazamiento máximo se encuentra en el centro geométrico de una placa rectangular, homogénea, isótropa y simplemente apoyada en sus bordes. - Por lo tanto, las coordenadas  $(x,y)$ , figura 2.2, para las cuales se analiza el desplazamiento son  $(a/2,b/2)$ .

El máximo desplazamiento al que se hizo referencia se obtiene en forma analítica de la secuencia de cálculo presentada en el capítulo III, ecuaciones (3.20) a (3.25). Por ejemplo, para una placa - de dimensiones  $a=50"$ ,  $b=16"$  y espesor  $h=\frac{3}{8}"$ , bajo la excitación de una carga unitaria aplicada con una frecuencia de 9 rad/seg y considerando un 10% del amortiguamiento crítico, los valores obtenidos - son:

$$ec(3.20) \quad D= 140045.5 \text{ lb}\cdot\text{in}$$

$$ec(3.21) \quad \omega_{11}= 958.67 \text{ rad/seg}$$

$$ec(3.22) \quad F_{11}= 5889.69$$

$$ec(3.23) \quad \zeta_{11}= 0.1894$$

ec(3.17)	$\Lambda_{11} = 0.0064089$
ec(3.16)	$\phi_{11} = 0.00356 \text{ rad}$
ec(3.18)	$\eta_{11} = -0.005829 \text{ para } t=1.0 \text{ seg}$
ec(3.24)	$\delta_{11} = -0.005829 \text{ para } t=1.0 \text{ seg}$

El valor máximo del desplazamiento a lo largo del tiempo es  $\delta_{11} = 0.0064$  y ocurre para  $t=0.0$  y  $0.7 \text{ seg}$ , es decir que su periodo es de  $0.7 \text{ seg}$  y su frecuencia de  $2\pi/0.7=9 \text{ rad/seg}$ . Este último valor verifica lo dicho en el primer párrafo de este inciso.

La figura 4.4 muestra los resultados de un análisis similar al anterior con gráficas de desplazamiento en el tiempo, de la placa que forma parte del cascarón cónico en estudio, figura 1.1, cuyas dimensiones son  $16.5 \times 52 \times \frac{3}{8}''$ . Se considera que existe un amortiguamiento del 10% del crítico y que la placa se encuentra bajo la excitación dinámica, a diferentes frecuencias, de una carga uniformemente distribuida en su superficie. Se observa claramente un aumento en la respuesta de la placa a medida que la frecuencia de la excitación se asemeja a la primera frecuencia natural  $\omega_{11} = 900.047 \text{ rad/seg}$ . Cabe hacer notar que la frecuencia a la que ocurre el mayor de los desplazamientos no siempre coincide con la frecuencia fundamental. En algunos casos, y en específico para placas delgadas con amortiguamiento mayor al 10% del crítico se presenta un corrimiento hacia una frecuencia un poco menor como es el caso que se presenta en la misma figura 4.4.

Si para diferentes frecuencias encontramos el valor máximo de la respuesta de una placa en particular, no importando en que instante ocurre, contaremos con las coordenadas de un punto en una gráfica que muestre la respuesta máxima contra la frecuencia de excitación correspondiente, es decir, el espectro de respuesta de desplazamientos de la placa. (Ref.16)

Al aumentar el espesor de la placa los valores de sus frecuencias naturales aumentan, por lo que el valor máximo del espectro de respuesta se corre hacia frecuencias mayores, como se muestra en la figura 4.5. Otro parámetro importante en la respuesta del sistema es el valor de la fracción del amortiguamiento crítico. El amortiguamiento del sistema abate la respuesta desde infinito para 0.0% a 0.1798" para 1% y 0.018" para 10%, figuras 4.5 a 4.12.

Las cotas de desplazamiento estático que se muestran en las mismas figuras 4.5 a 4.12 son las que propone S.Timoshenko (Ref.17) para placas simplemente apoyadas y cargadas uniformemente. Se observa que los valores de Timoshenko son menores a los obtenidos con el análisis propuesto en esta tesis. Para éste último se realizó su sumatoria de los desplazamientos de todos los modos que intervienen en la vibración de la placa. Se encontró que para 'm' y 'n' de 1 a 7 se logra la aproximación de cuatro cifras significativas.

En la figura 4.13 se resumen en doce puntos los máximos desplazamientos de las diferentes placas de las figuras 4.5 a 4.12 y las frecuencias a las que ocurren, en una envolvente de los espectros de respuesta. Estas envolventes sólo dependen del valor del coeficiente de amortiguamiento, es decir, que una misma curva representa todos los valores de diferentes placas con el mismo amortiguamiento.

Estas envolventes trazadas en escala doble logarítmica son rectas de pendiente unitaria negativa, paralelas entre sí y que guardan una relación logarítmica con el coeficiente de amortiguamiento, figura 4.14a. Esta gráfica representa en realidad un ESPECTRO DE ESPECTROS.

Se encontró que los parámetros adimensionales más adecuados para trazar las gráficas de las figuras 4.14a y 4.14b son:  $a/b$ ,  $h/b$  y  $\omega_0 b$ .

La figura 4.14b representa la relación que existe entre  $a/b$  y  $\omega_0 b$ , es decir, la relación de los parámetros geométricos con la frecuencia a la que ocurre el desplazamiento máximo. Esta relación es-

tá dada por curvas que son función de  $h/b$  y paralelas entre sí en forma también logarítmica.

De las dos gráficas 4.14 se puede obtener una gran cantidad de información por lo que resulta interesante encontrar la expresión matemática que las gobierna.

Una recta en escala doble logarítmica sigue siendo una recta por lo que sus ecuaciones paramétrica y punto-pendiente son sencillas de obtener.

La relación entre  $\omega_0 b$  y  $\delta_{\max}/b$  es una recta cuya pendiente es:  $m = [\ln(\delta_{\max}/b)_1 - \ln(\delta_{\max}/b)_2] \div [\ln(\omega_0 b)_1 - \ln(\omega_0 b)_2]$  y es igual a -1.

Utilizando la ecuación punto-pendiente;

$$\ln(\delta_{\max}/b) = m \ln(\omega_0 b) + B \quad \text{---(4.1)}$$

y para puntos en diferentes rectas se tiene que:

$$B = 2.785 \text{ para } \lambda = 0.1$$

$$B = 2.078 \text{ para } \lambda = 0.2$$

$$B = 1.658 \text{ para } \lambda = 0.3$$

esta variación de B con respecto a  $\lambda$  en escala normal-logarítmica es una recta de pendiente  $m' = [\ln(\lambda_1) - \ln(\lambda_2)] \div (B_1 - B_2) = -1$ . Su ecuación punto-pendiente es entonces:

$$\ln(\lambda) = -B + C$$

donde  $C = 0.47$  y por lo tanto,

$$B = 0.47 - \ln(\lambda) \quad \text{---(4.2)}$$

Sustituyendo (4.2) en (4.1),

$$\ln(\delta_{\max}/b) = -\ln(\omega_0 b) + [0.47 - \ln(\lambda)],$$

de donde:

$$\delta_{\max}/b = 1.6 / \omega_0 b \quad \text{---(4.3)}$$

Por otra parte la relación entre  $h/b$  y  $\omega_0 b$  es una recta en escala doble logarítmica de pendiente +1, con lo que:

$$\log(h/b) = \log(\omega_0 b) + F \quad \text{---(4.4)}$$

La constante F se tabula a continuación para diferentes valores de (a/b).

a/b	F
1	-6.074
2	-5.870
3	-5.819
4	-5.800
5	-5.788
6	-5.784
7	-5.782
10	-5.777

La expresión matemática que los representa es:

$$(a/b) = [-F-5.777]^{-1/e} \quad (4.5)$$

de donde  $F = -(a/b)^{-e} - 5.777 \quad (4.6)$

Sustituyendo (4.6) en (4.4) y despejando,

$$\omega_{ob} = (h/b) \cdot 10^{(a/b)^{-e} + 5.777} \quad (4.7)$$

Finalmente, sustituyendo (4.7) en (4.3), la ecuación que relaciona al máximo desplazamiento de una placa simplemente apoyada sometida a vibración forzada por una carga uniforme, con sus parámetros geométricos es:

$$(\delta_{\max}/b) = \frac{1.6}{(h/b)\lambda \cdot 10^{[(a/b)^{-e} + 5.777]}} \quad (4.8)$$

donde  $e=2.71282$

La expresión anterior define el desplazamiento máximo en vibración forzada de cualquier placa rectangular simplemente apoyada en sus bordes, en función de los parámetros geométricos  $(a/b)$  y  $(h/b)$  y del coeficiente de amortiguamiento  $\lambda$ . Incluye los resultados de otros autores y es general para el modelo empleado.

Analizando la confiabilidad de los resultados, se encontró que es práctica común considerar al desplazamiento dinámico máximo igual al desplazamiento estático amplificado  $1/2\lambda$  veces, cuando  $\lambda$  es grande. (Ref.21).

La fórmula que propone Timoshenko (Ref.1) para desplazamiento bajo carga estática de placas rectangulares simplemente apoyadas, se afectó por el factor  $1/2\lambda$  y se dividió entre la longitud  $b$ . Esto último con el fin de observar su comportamiento en la gráfica de la figura 4.15. La ecuación resultante es:

$$\delta_{\max}^*/b = (1/2\lambda)(\delta_{\text{est}}/b) = 6(1-\nu^2) [\lambda\pi^4 E h^3 b(1/a^2 + 1/b^2)^2] \quad (4.9)$$

En la tabla 4.9 se dan los resultados de desplazamiento máximo de las ecuaciones (4.8) y (4.0) para diferentes placas.

Los resultados de la ecuación (4.9), suponiendo que la frecuencia a la que ocurre el máximo desplazamiento está cercana a la primera frecuencia natural, se grafica sobre los resultados generales de la ecuación (4.8) en la figura 4.15. Los  $\Delta$  representan los valores para  $\lambda=0.3$ , para diferentes relaciones  $(h/b)$ . Se tomó sólo una relación  $(a/b)=10$  y las relaciones  $(h/b)=0.006, 0.01, 0.02, 0.03$  y  $0.04$  con amortiguamientos de  $0.3, 0.1, 0.07, 0.05, 0.03$  y  $0.01$ . Estos valores se han unido con rectas para cada valor del coeficiente de amortiguamiento.

Se observa que la ecuación (4.9) representa un espacio de curvas que cortan al espacio de rectas de la teoría que presenta esta tesis. Es decir que las soluciones de ambas sólo coinciden en un punto para cada valor de  $\lambda$ .

Estos valores para los que coinciden las dos teorías se representan por la línea punteada en la misma figura 4.15. De ellos mismos se concluye que la ecuación (4.9) sólo es aplicable cuando  $\omega_0 b$  es aproximadamente igual a 16000.

Tal vez en algunos casos en la práctica se ha coincidido al estar cerca de ese valor y los resultados obtenidos han sido más o menos satisfactorios. Sin embargo se debe tener cuidado al aplicar la lejos de ese valor. Si  $\omega_0 b$  es menor a 16000 el resultado real se estará sobrestimando, mientras que si es mayor, el resultado estará subestimado, con las consecuencias de cada uno de estos dos casos.

Se puede concluir entonces que la fórmula (4.9) no sólo es aplicable cuando el coeficiente de amortiguamiento es grande, sino para cualquier valor de éste siempre y cuando el valor de la frecuencia a la que ocurre el máximo desplazamiento multiplicado por la longitud  $b$ , se encuentre en torno al valor de 16000.

TABLA 4.9

a	100	100	100	100	100
b	10	10	10	10	10
h	0.06	0.1	0.1	0.2	0.1
$\lambda$	0.3	0.3	0.1	0.1	0.07
$\omega_0$	360	600	600	1200	600
ec 4.8	0.001478	0.000887	0.002662	0.001331	0.003803
ec 4.9	0.029240	0.006316	0.018940	0.002368	0.027068
%error	1977	612	612	78	612
fig.4.15	▲ 0	▲ 1	■ 1	■ 2	● 1

100	50	100	100	100	100
10	5	10	10	10	10
0.2	0.1	0.3	0.1	0.2	0.3
0.07	0.07	0.07	0.05	0.05	0.05
1200	1200	1800	600	1200	1800
0.001901	0.001901	0.001268	0.005324	0.002662	0.001775
0.003383	0.003383	0.001003	0.037895	0.004737	0.001404
78	78	-21	612	78	-21
● 2	● 2	● 3	□ 1	□ 2	□ 3

100	100	100	100	100
10	10	10	10	10
0.2	0.3	0.2	0.3	0.4
0.03	0.03	0.01	0.01	0.01
1200	1800	1200	1800	2400
0.004437	0.002958	0.013310	0.008873	0.006655
0.007895	0.002339	0.023684	0.007018	0.002961
78	-21	78	-21	-56
* 2	* 3	○ 2	○ 3	○ 4

cascarón  
cilíndrico  
en vibración.

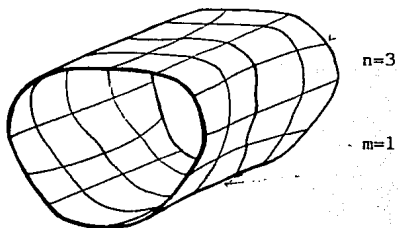
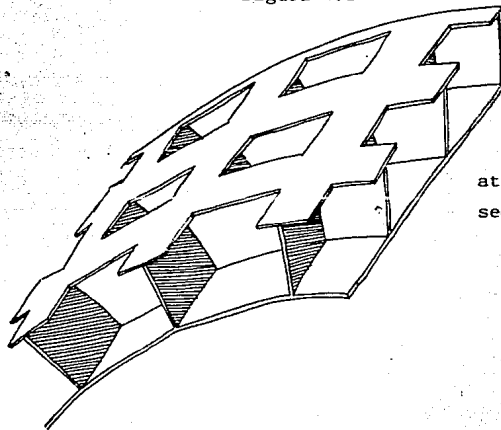
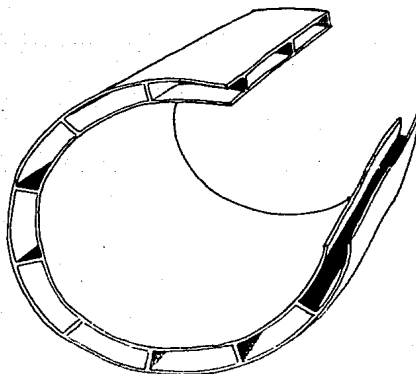


figura 4.1



stifenedores de  
sección T.

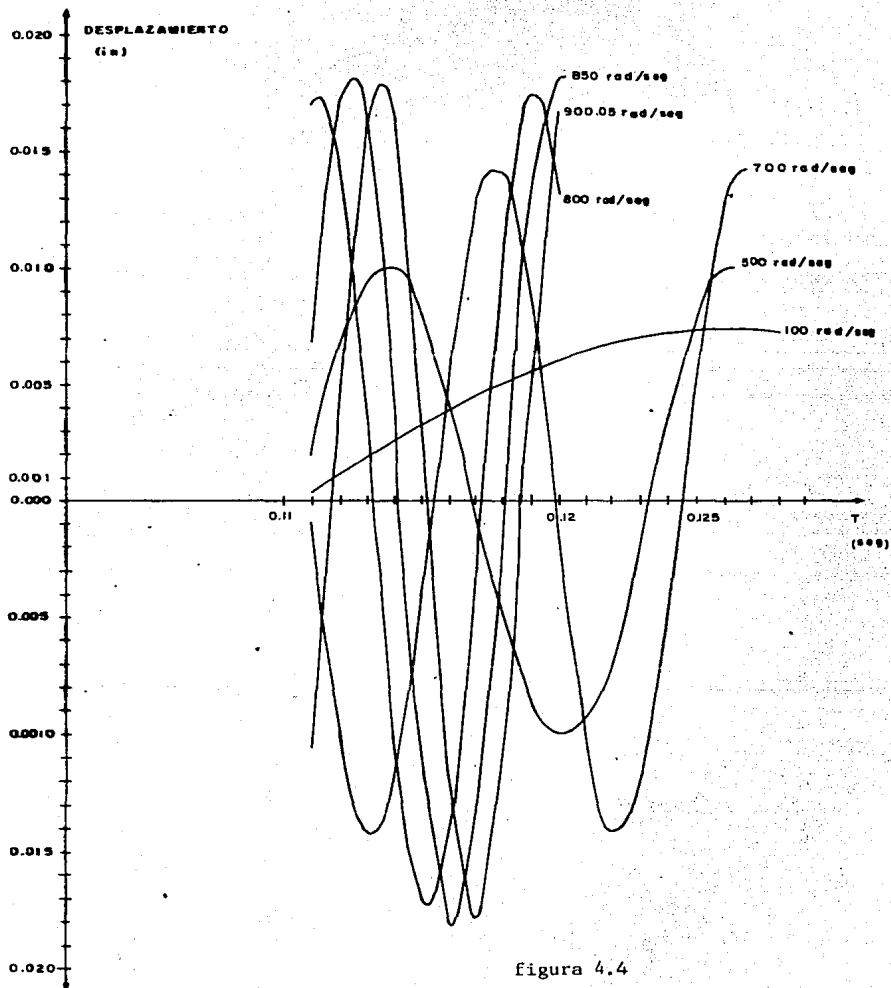
figura 4.2

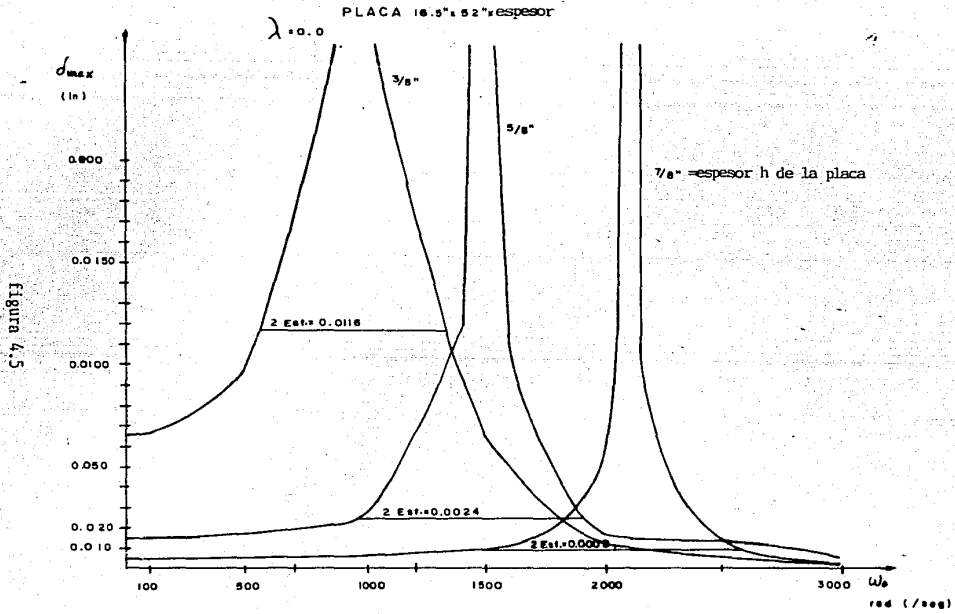


casarón cónico  
de doble pared.

figura 4.3

PLACA 16.5" x 52" x 3/8"

 $\lambda = 0.1$ 



PLACA 16.5" x 52" x espesor

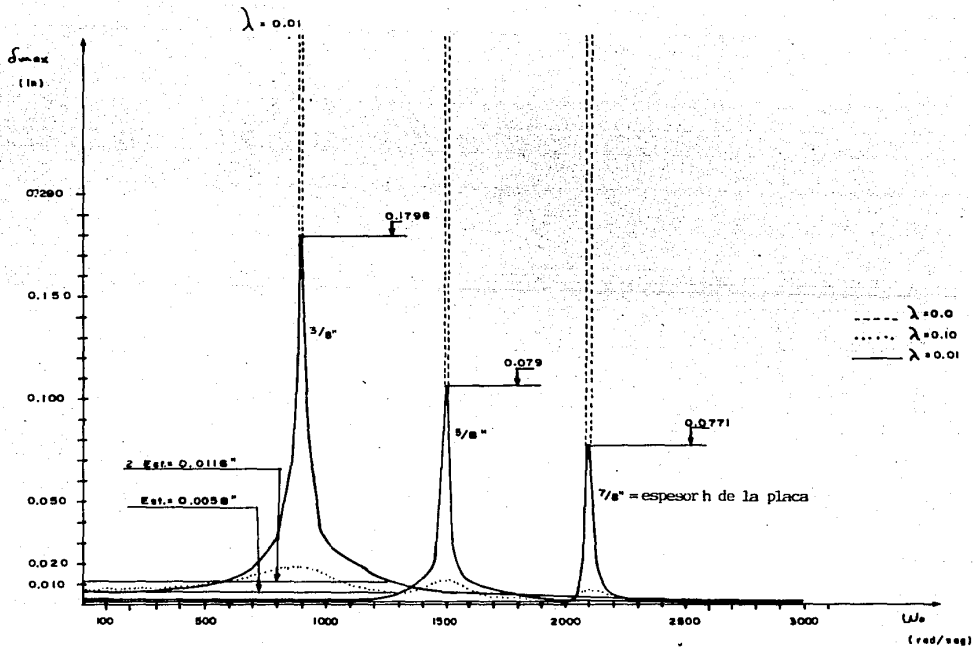
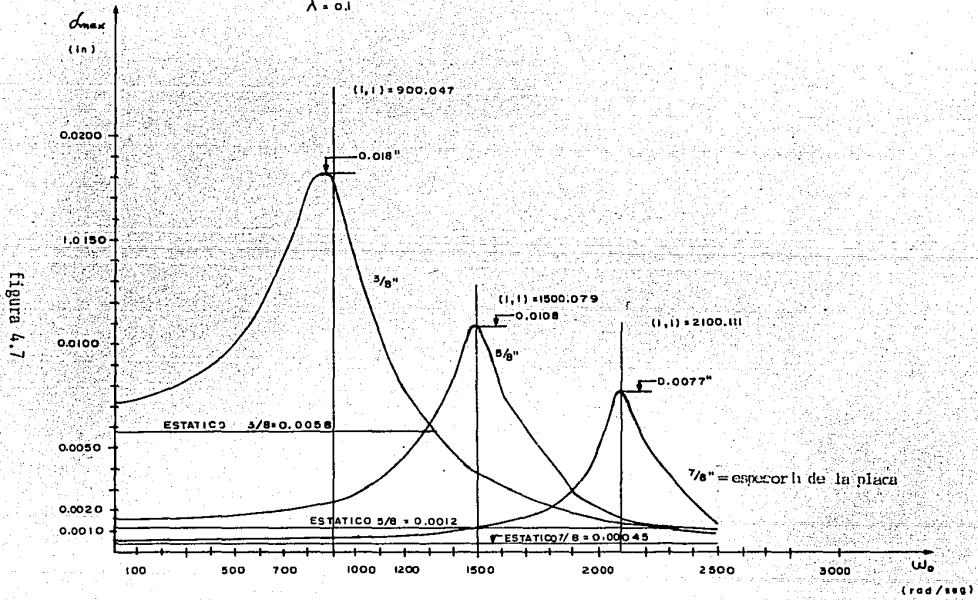


Figura 4.6

PLACA 16.5" x 52" x ESPESOR

$\lambda = 0.1$



PLACA 16.5% 52" espesor

$\lambda = 0.2$

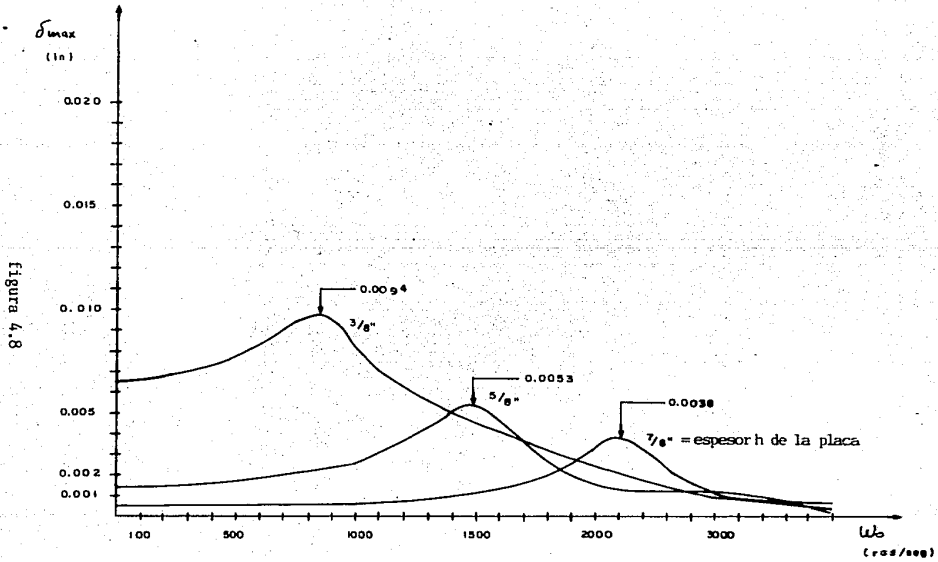
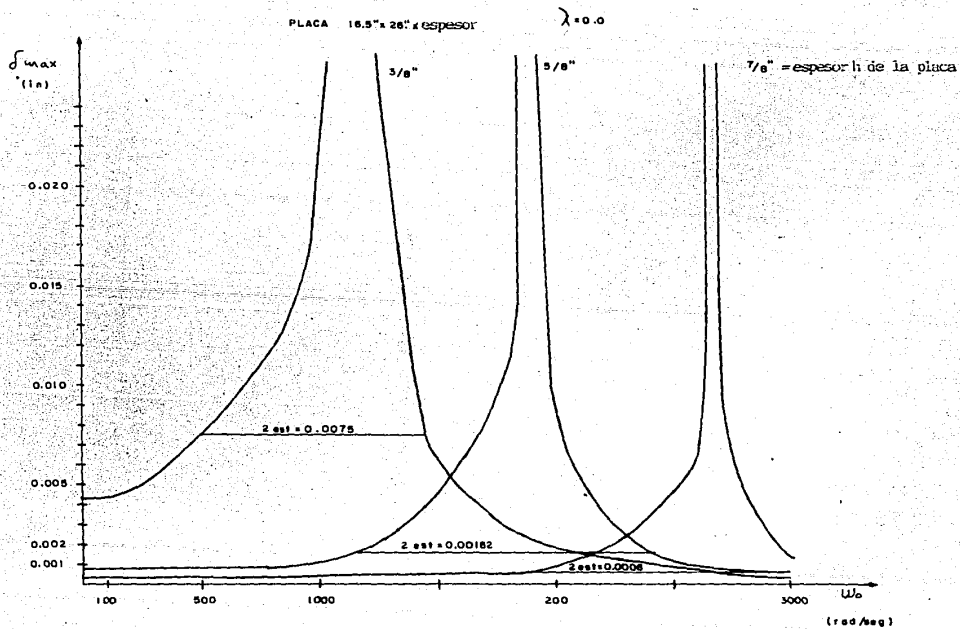


Figura 4.6



PLACA 16.5" x 26" x espesor

$\lambda = 0.01$

$f_{vib}$   
(in)

0.200

0.150

0.100

0.050

0.020

0.010

100

500

1000

1500

2000

2500

3000

$\omega_0$

(rad/seg)

$2E_{st} = 0.00754$   
 $E_{st} = 0.00377$

0.1300

3/8"

0.0637

5/8"

0.0595

7/8" = espesor h de la placa

$\omega_{(1,1)} = 1147$

$\omega_{(1,1)} = 1911$

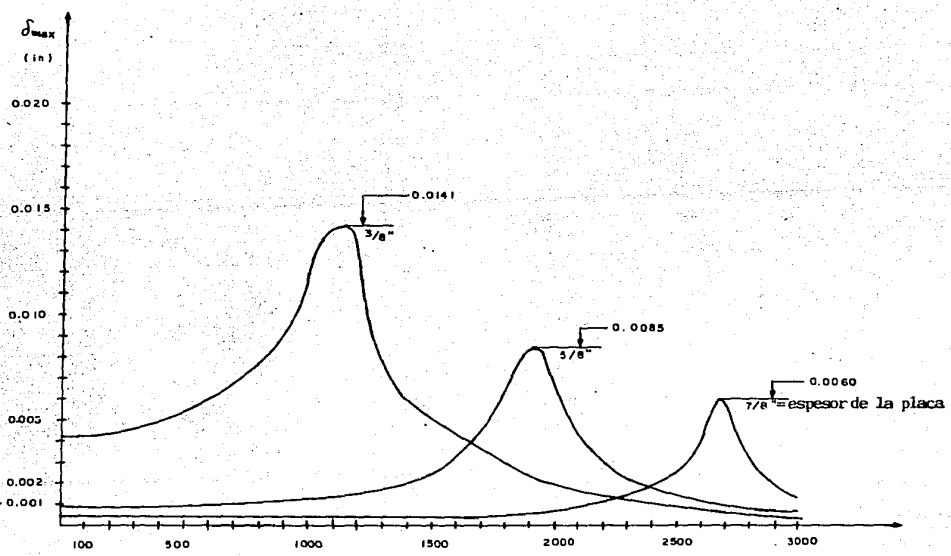
$\omega_{(1,1)} = 2676$

figura 4.10

$\lambda = 0.1$

PLACA 16.5" x 26.0" x espesor

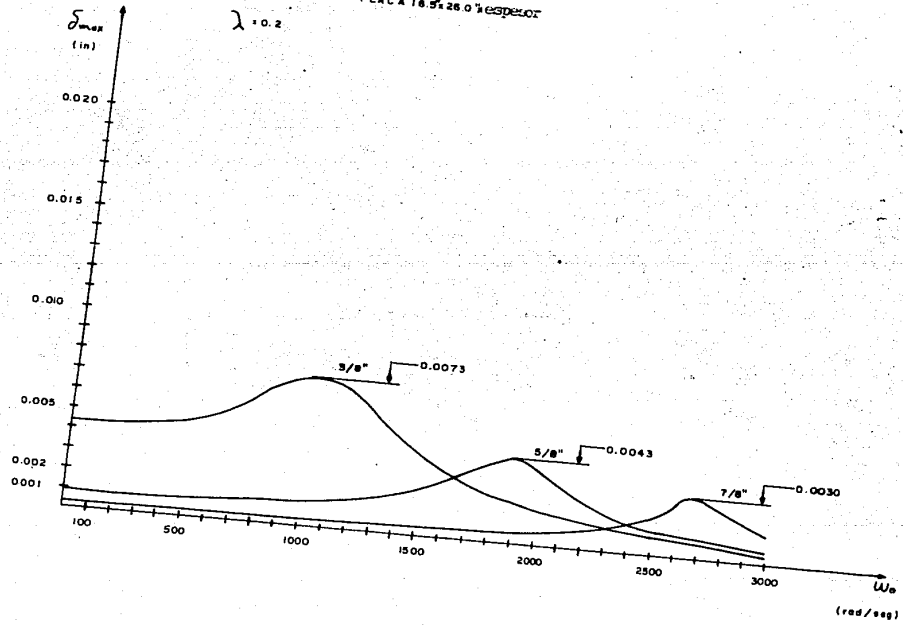
Figura 4.11



PLACA 18.9% 26.0" espesor

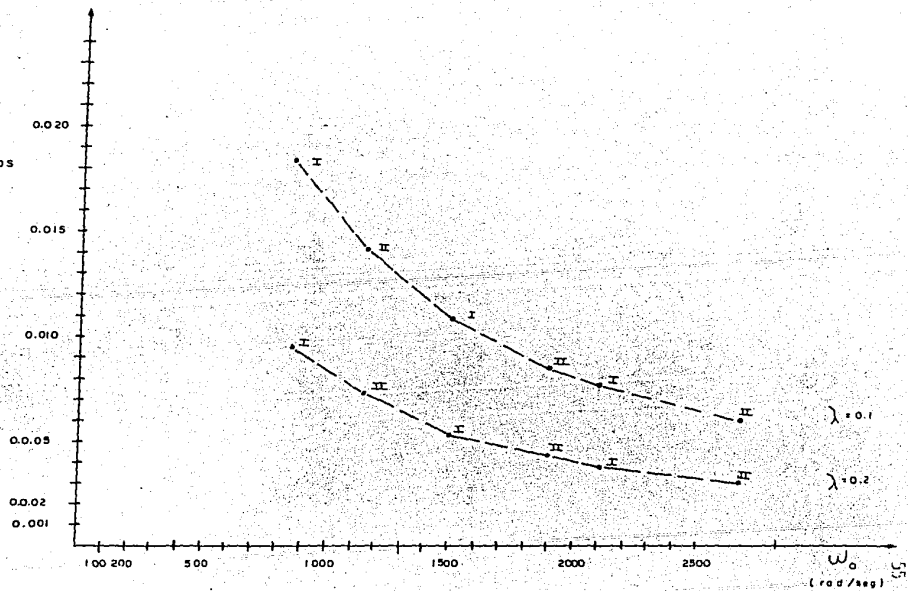
$\lambda = 0.2$

Figura 4.12

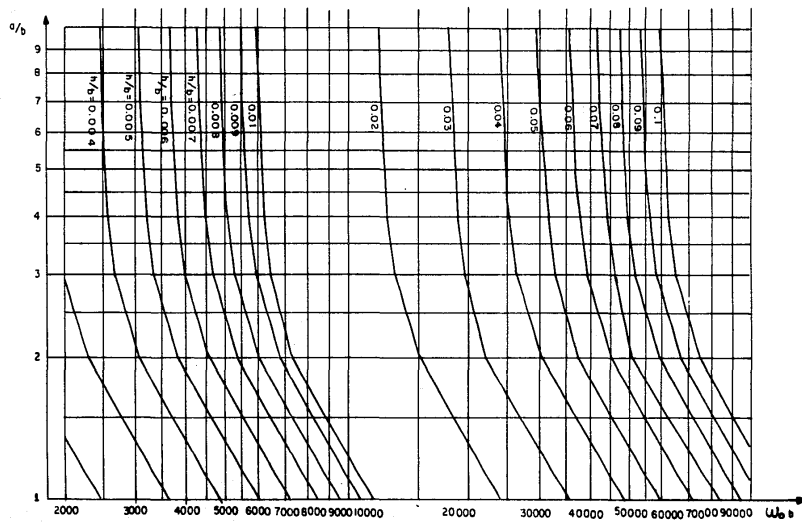
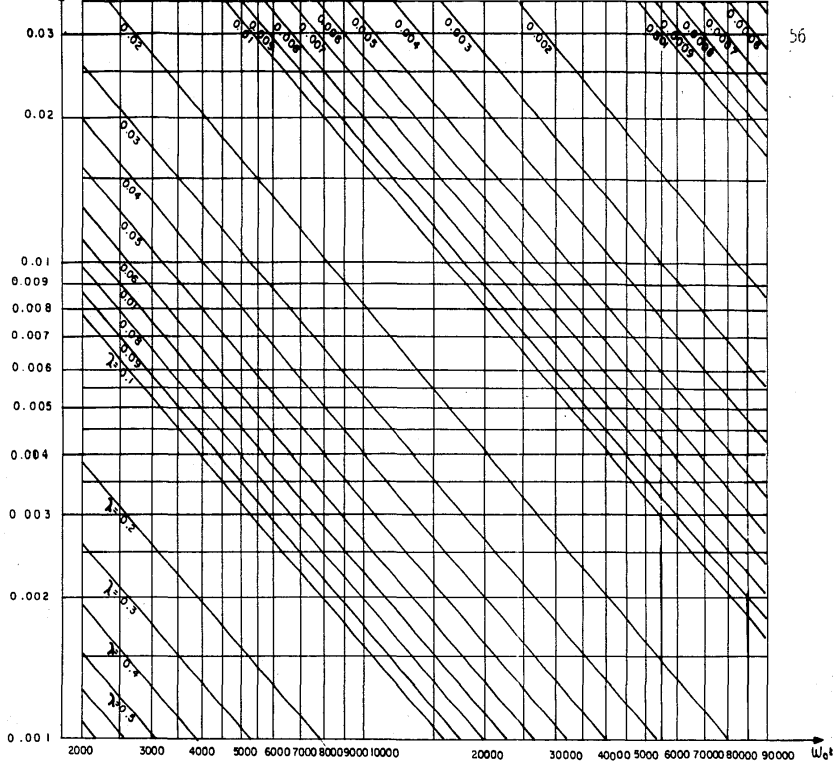


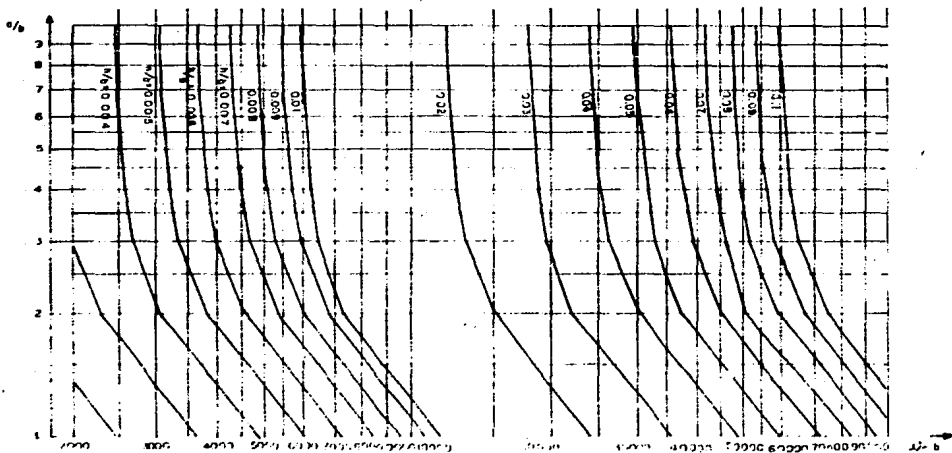
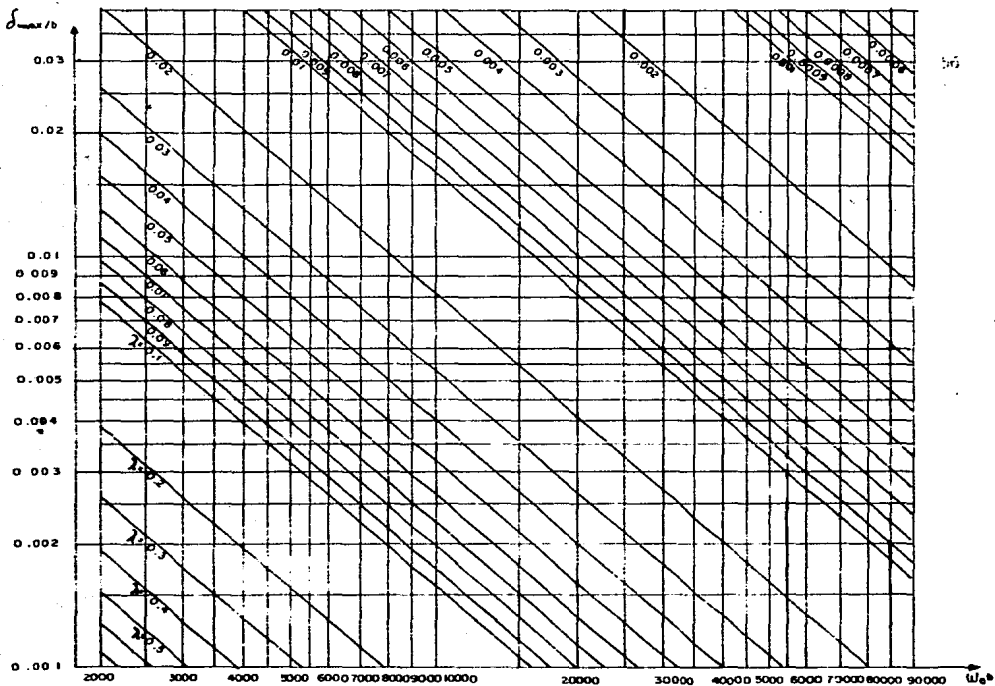
COTA SUPERIOR  
DE LOS DESPLAZAMIENTOS  
MAXIMOS

Figura 4.13



I 16.5" = 52"  
II 16.5" = 26"





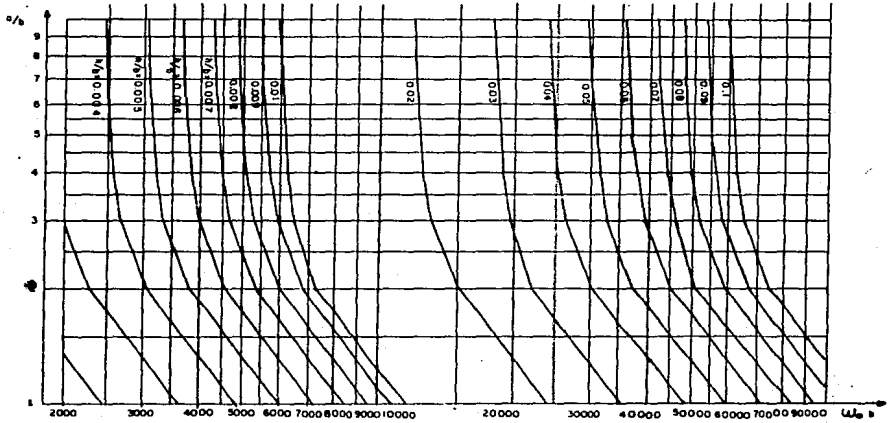
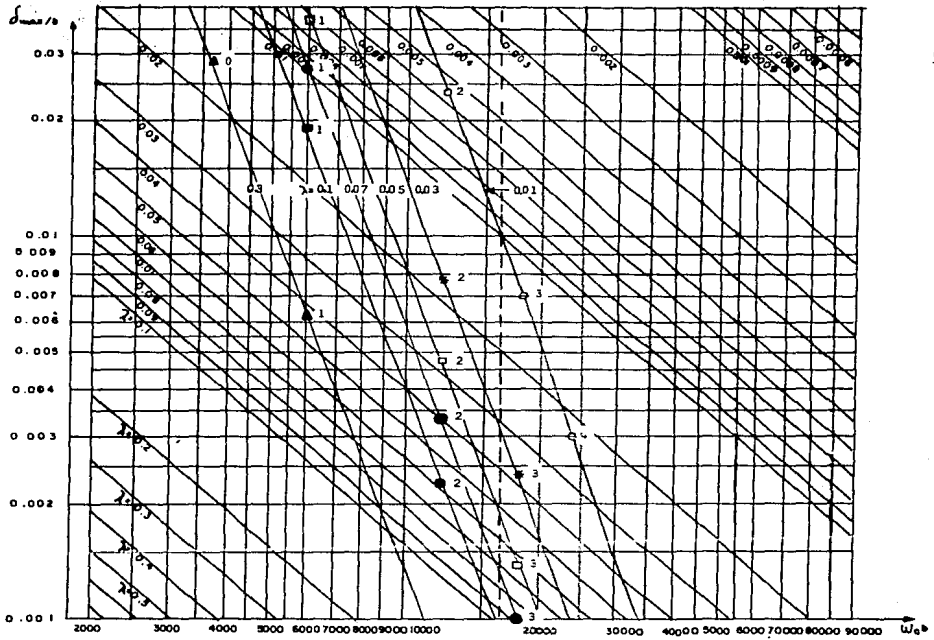


figura 4.15

## CAPITULO V

## CONCLUSIONES Y RECOMENDACIONES DE DISEÑO

Las conclusiones que se derivan de este trabajo son muy variadas y se refieren tanto al comportamiento dinámico general de cascarones y placas, como al problema en particular de vibración de la tubería de desfogue de las turbinas de Chicoasén.

Como se vió en los resultados del capítulo anterior las frecuencias naturales del cascarón cónico atiezado se pueden elevar suficientemente si se retira el recubrimiento de concreto, de ser posible, y si se rigidiza eficientemente. En diseños futuros por ningún motivo debe usarse concreto en las tuberías de desfogue a menos que se haga un análisis adecuado y se demuestre su factibilidad.

Esta rigidización depende principalmente de las propiedades del material que se utilice. Los materiales pesados y con módulo de elasticidad bajo disminuyen las frecuencias naturales del sistema. Existen materiales ligeros y de gran resistencia como los que se utilizan en la construcción de aviones; desde el punto de vista estructural es el más adecuado. Ahora que trabajando con acero, se puede buscar la solución más económica para rigidizar el cascarón cónico en estudio. Esto es, con una retícula de anillos y atiezados res de sección 'T', figura 4.2, adicionando patines de  $6'' \times \frac{3}{8}''$  en ambos sentidos y removiendo la capa de concreto que le fué colocada, se logra elevar en un 25% el valor de la frecuencia fundamental.

Cabe hacer notar que estructuralmente se pueden controlar las vibraciones y los desplazamientos del sistema, sin embargo el desgaste de la superficie interna debido al flujo de agua y a la cavitación no se pueden impedir. A este respecto sólo se puede recomendar aumentar al doble el espesor de la tubería para aumentar en i-

igual medida su vida útil y, por supuesto, se recomienda REVISAR el diseño hidráulico.

Por otra parte, la retícula de anillos y atezadores conforma el sistema de placas simplemente apoyadas analizadas en el capítulo anterior. De ese análisis se desprenden las siguientes conclusiones. La relación  $(a/b)$  de una placa juega un papel importante en la respuesta de la misma. Para tres placas con la misma área, mismo espesor y mismo grado de amortiguamiento, pero diferente relación largo ancho, sus desplazamientos máximos son muy diferente. Por ejemplo, para  $(a/b)_1=1$ ,  $(a/b)_2=5$  y  $(a/b)_3=9$ , sus desplazamientos máximos son  $\delta_1$ ,  $\delta_2=0.38\delta_1$  y  $\delta_3=0.21\delta_1$ . De ello se concluye que es más conveniente una retícula alargada.

Los resultados de desplazamientos máximos obtenidos al centro de las placas simplemente apoyadas son mayores a los que se dan en la realidad puesto que existe un cierto grado de empotramiento en sus bordes al ser una estructura continua. Esto sin embargo representa un primer paso en el estudio del comportamiento dinámico de cascarnes. El esquema de las figuras 4.14 será similar para otras condiciones de apoyo en placas, y el análisis del inciso III.3 será similar, aunque más complicado, para una nueva función coordenada  $U_{imn}$ .

Yendo un poco más adelante, se espera un esquema similar de comportamiento para estructuras como cilindros, conos y esferas. La razón de estas afirmaciones se encuentra con detalle en la referencia 20.

## REFERENCIAS

- 1 S.Timoshenko; "Vibration problems in engineering"; D.van Nostrand Company, Inc.; 1956.
- 2 David Halliday & Robert Resnick; "Fundamentos de Física"; C.E. C.S.A.; 1974.
- 3 William T.Thomson; "Theory of vibrations and applications"; -- Prentice Hall, Inc.; 1965.
- 4 Teófilo Vargas; "Estabilidad de placas curvas"; tesis de doctorado, UNAM; 1965.
- 5 V.I.Weingarten; "Free vibrations of conical shells"; Journal of the Mechanic Engineering division ASCE; agosto 1965.
- 6 A.W.Leissa; "Vibration of shells"; NASA SP-288,U.S.; Government Printing office; Washington D.C. 1973.
- 7 Hyman Garnet & Joseph Kempner; "Axisymmetric free vibrations of conical shells"; Journal ASME; Septiembre 1964.
- 8 Paul Seide; "Free vibrations of simply supported frustum conical shells"; Israel Journal of Technology; Febrero 1965.
- 9 P.M.Naghdi; "On the theory of thin elastic shells"; Quarterly Journal of Mechanics and Applied Mathematics; Vol 3, 1950.
- 10 Werner Soedel; "Vibration of shells and plates"; Marcel Dekker, Inc.;1981

- 11 Francis Tse, Ivan Morse & Roland Hinkle; "Mechanical vibrations"; Allyn and Bacon; 1978.
- 12 Wilhelm Flügge; "Tensor analysis"; Springer Verlag; 1973.
- 13 Wilhelm Flügge; "Stresses in shells"; Springer Verlag; 1973.
- 14 International Congress; "Theory and experimental investigation - of spatial structures, application of shells in engineering --- structures"; USSR, Moscú; Septiembre 1985.
- 15 J.L.Urrutia-Galicia & A.N.Sherbourne; "Analysis of stresses in internally loaded cylindrical shells"; Department of Civil Engineering, University of Waterloo; Waterloo, Ontario, Canada; Computer & Structures, Vol.15, No3; 1982.
- 16 C.E.Calderón; "Desarrollo de espectros de respuesta sísmica en los pisos de una estructura"; Tesis profesional, UNAM; 1977.
- 17 S.Timoshenko; "Theory of plates and shells"; Mc Graw Hill International; 1959.
- 18 David Miller & Franklin Hart; "The density of eigenvalues in thin circular conical shells"; NASA; 18 Mayo 1970.
- 19 V.G.Rekarch; "Problemas de la teoría de la elasticidad"; Editorial Mir, Moscú; traducción al español 1978.
- 20 J.L.Urrutia-Galicia y N.Aviña; "Forced vibration analysis of plates simply supported under harmonic uniform load"; artículo en preparación.
- 21 Ralph Burto; "Vibration and impact"; Dover Publications, Inc.; 1968.